

## XPS und AES – oberflächensensitive analytische Methoden –

Dieter Pleul und Frank Simon

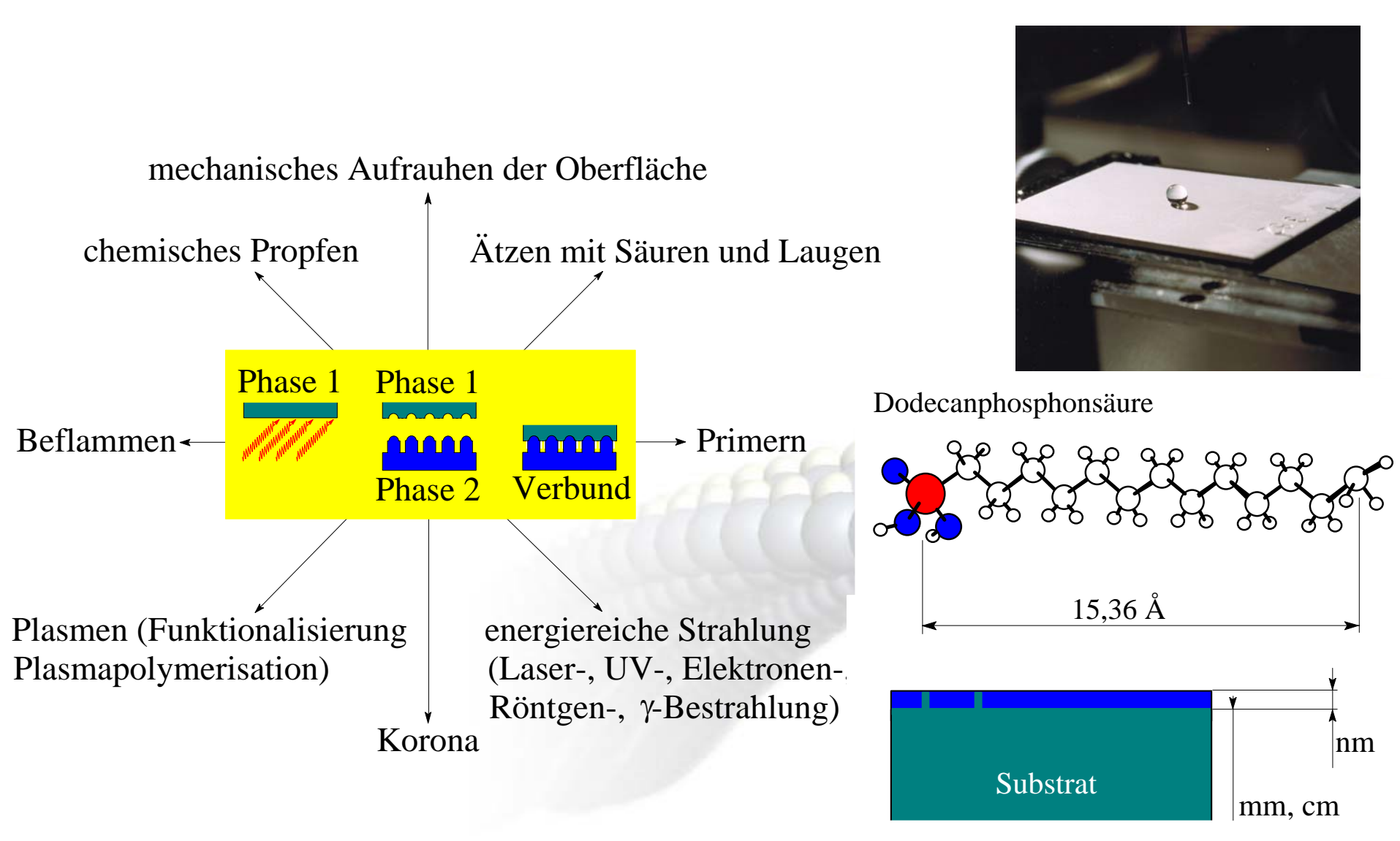
Leibniz-Institut für Polymerforschung Dresden e.V. Hohe Straße 6, 01069 Dresden

www.ipfdd.de; frsimon@ipfdd.de





#### Möglichkeiten zur Oberflächenmodifizierung von Polymeren







#### Oberflächensensitive analytische Verfahren

#### Molekülspektroskopie

- <u>Fourier-Transform Infrarot-Spektroskopie</u>
   <u>Attenuated Total Reflectance (ATR-FT-IR)</u>
   <u>Diffuse Reflection Infrared Fourier-Transform Spektroskopie (DRIFT)</u>
- <u>Surface Enhanced Raman Spectroscopy</u> (SERS)
- <u>Infrared Reflection Absorption Spectroscopy</u> (IRRAS auch IRAS)
- Photoakustische Spektroskopie (PAS)
- <u>High-Resolution Electron Energy Loss Spectroscopy</u> (HREEL)
- Plasmonenresonanz-Spektroskopie
- (Spektroskopische) Ellipsometrie

#### Elektronenspektroskopie

- Röntgen-Photoelektronenspektroskopie
   X-ray Photoelectron Spectroscopy (XPS) bzw.
   Electron Spectroscopy for Chemical Analysis (ESCA)
- <u>Ultraviolett-Photoelektronenspektroskopie</u> (UPS)
- Auger Electron Spectroscopy (AES)

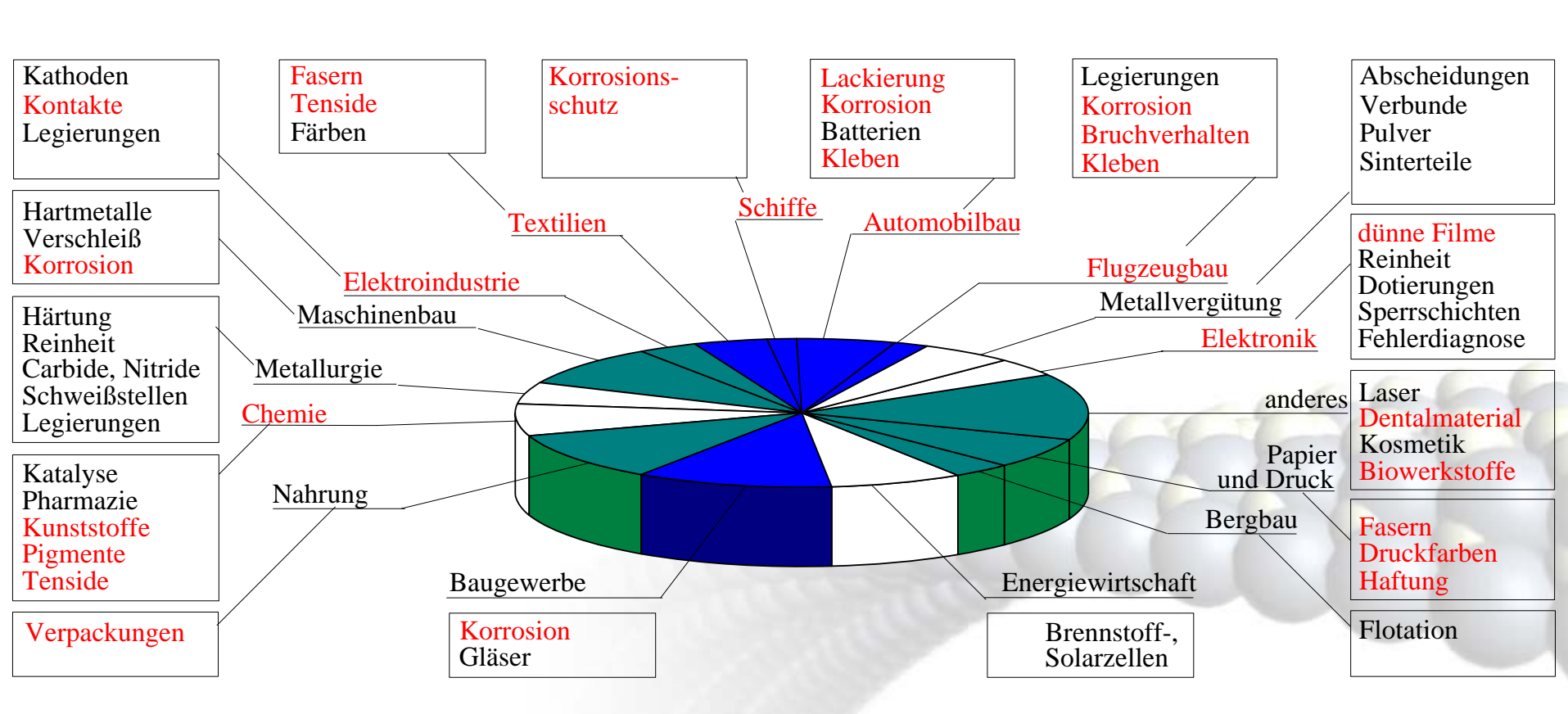
#### Oberflächenmassenspektrometrie

- <u>Secondary Ion Mass Spectrometry (SIMS)</u>
- Dynamic Secondary Ion Mass Spectrometry <u>Static Secondary Ion Mass Spectrometry</u> (SSIMS)
  - <u>Time-of-Flight Secondary Ion Mass Spectrometry (ToF-SIMS)</u>
- <u>Sputtered Neutral Mass Spectrometry (SNMS)</u>
- <u>Fast Atom Bombardment Mass Spectrometry</u> (FAB)





### Modifizierte Oberflächen in allen Bereichen der Wirtschaft – Oberflächenspektroskopie überall –

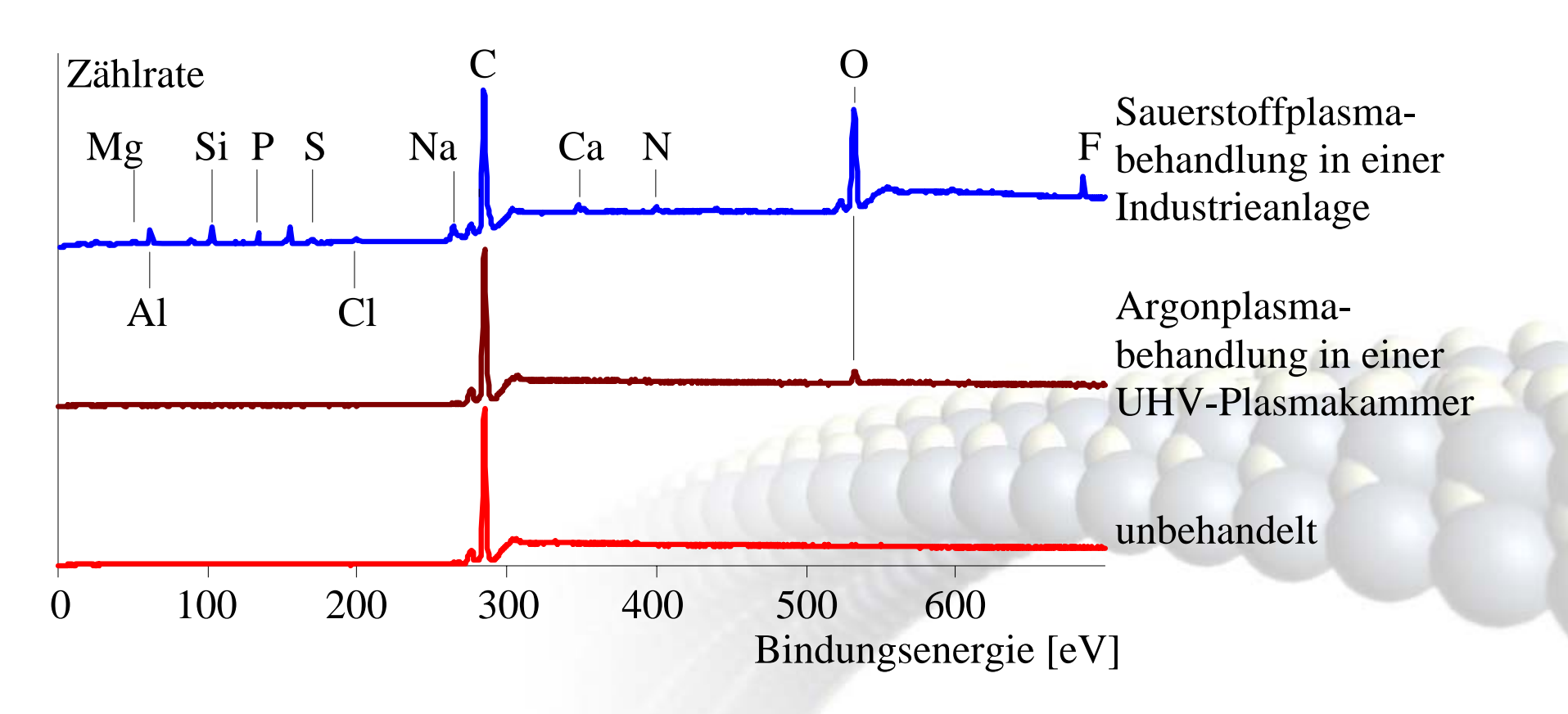


Anwendungsgebiete modifizierter Oberflächen im Vergleich mit der industriellen Produktion Großbritanniens (M.P. Seah: Surf. Interface Anal. 2, 222 1980)





#### Photoelektronenspektren von plasmabehandelten Polypropylen-Folien

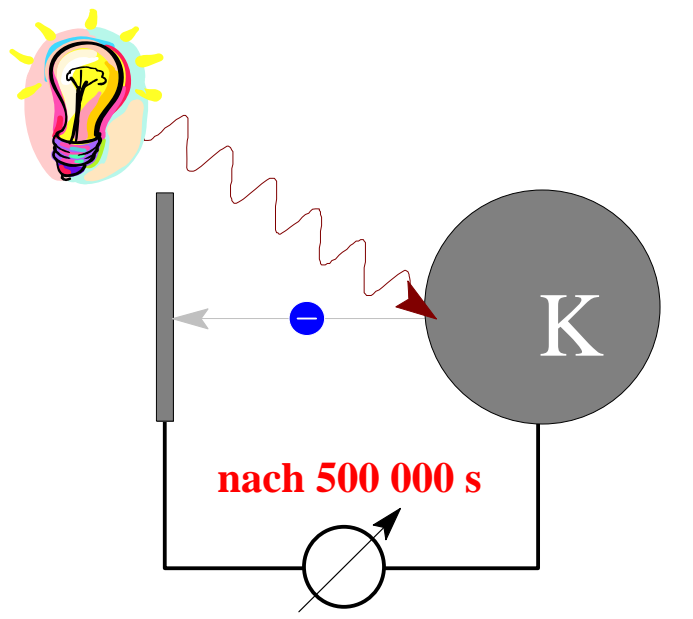






#### Photoelektronenspektroskopie - Der photoelektrische Effekt

- Heinrich Hertz (1886) und Wilhelm Hallwachs (1900) -









#### Wilhelm Hallwachs und Philipp Lenard, um 1900:

Strahlenflußdichte:  $D = 10^{-5} \text{ W} \cdot \text{m}^{-2}$ 

Strahlenflußdichte je K-Atom:  $D \cdot A_K = 10^{-5} \text{ W} \cdot \text{m}^{-2} \cdot 8,6 \cdot 10^{-20} \text{ m}^2$ 

 $= 8,6.10^{-25} \text{ W}$ 

Energie bei 1 s Bestrahlung:  $E_{prim} = 8.6 \cdot 10^{-25} \text{ W} \cdot \text{s}$ 

Ablösearbeit für ein Elektron:  $E_{ablöse} = 2,24 \text{ eV} = 3,6 \cdot 10^{-19} \text{ W} \cdot \text{s}$ 

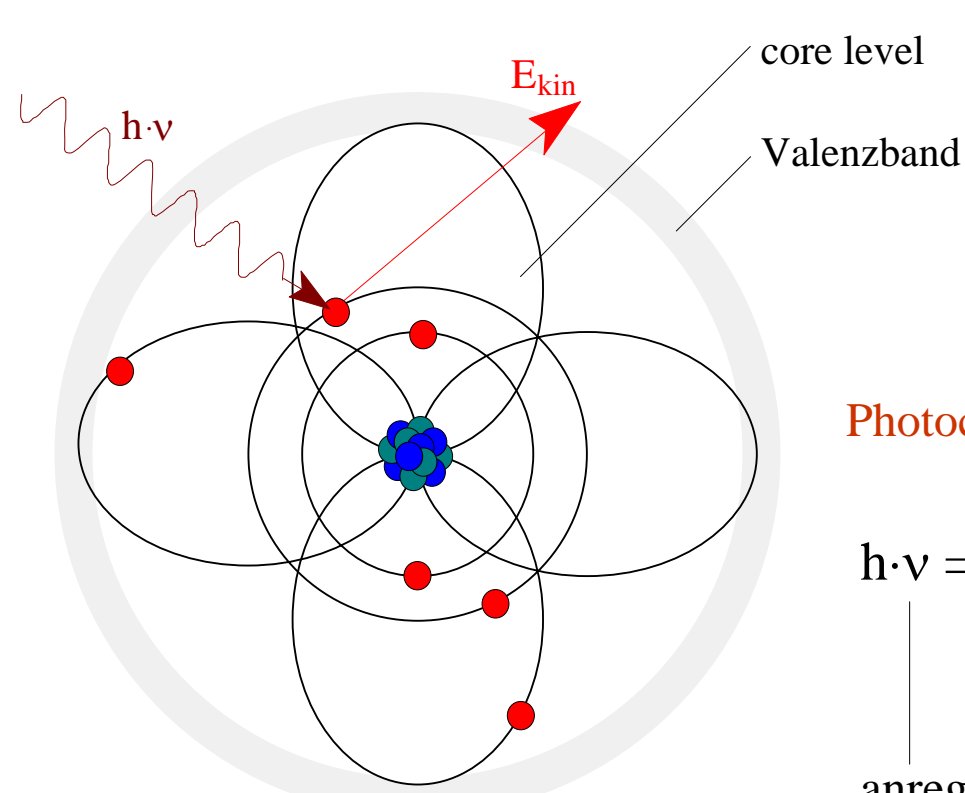
Bei der Bestrahlung wird nur ein Zweimillionstel der Energie zugeführt, die zum Ablösen eines Elektrons benötigt wird.

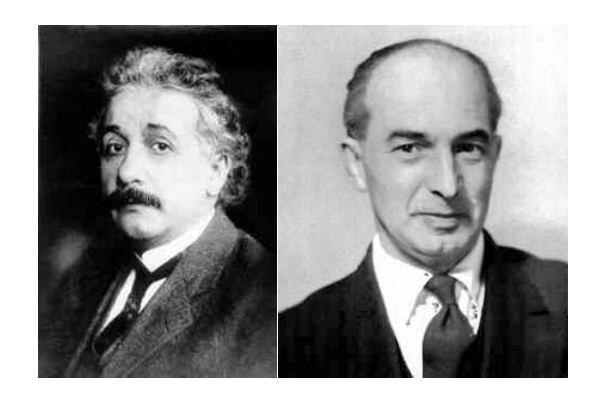




#### Photoelektronenspektroskopie - Der photoelektrische Effekt

- Wilhelm Hallwachs (1886), Albert Einstein (1905) und Ernest Rutherford (1914) -





#### Photochemisches Quantenäquivalent-Gesetz

$$\begin{aligned} h \cdot \nu &= E_{bind} + E_{kin} & \text{[eV]} \\ && \text{experimentell zu bestimmen} \\ && \text{elementspezifische Größe} \\ && \text{anregende Energie} \end{aligned}$$





#### Das Röntgen-Photoelektronenspektrometer

#### Kai Manne Börje Siegbahn (1954 / 1955) – Das erste Spektrum von Kochsalz –



Geboren am 20.04.1918 in Lund Sohn von K.M.G. Siegbahn

Studium Univ. of Uppsala

1944: Promotion (Univ. of Stockholm)

1951:Physik-Professor in Stockholm am

Royal Institute of Technology

ab 1954: University of Uppsala

$$h \cdot v = E_{bind} + E_{kin}$$

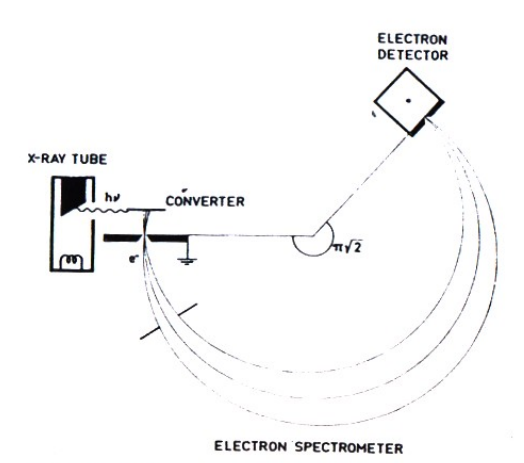


Fig. I:2. Schematic view of an ESCA arrangement for the study of electrons expelled by X-rays.

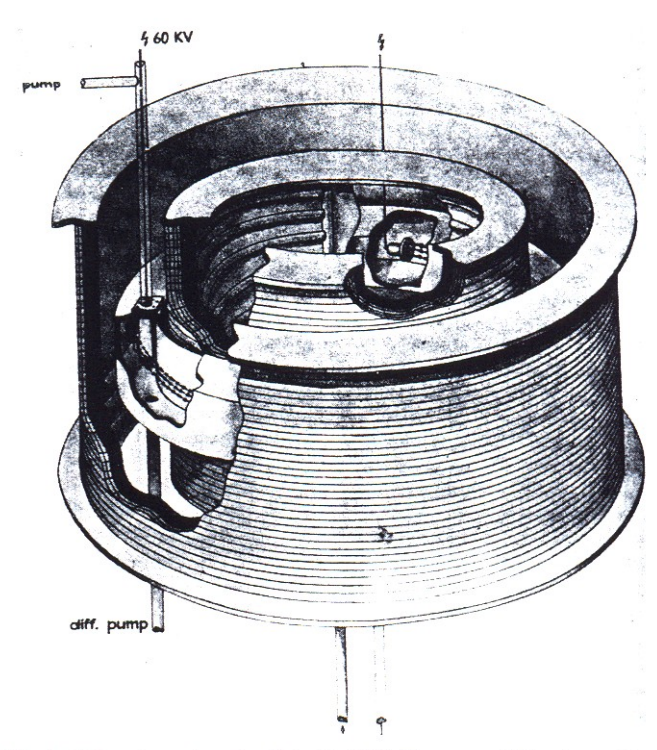


Fig. I:3. First iron-free double focussing spectrometer adapted for ESCA. The magnetic field is obtained from two co-axial collwith radii 24 cm and 36 cm, and height 48 cm.<sup>5</sup>

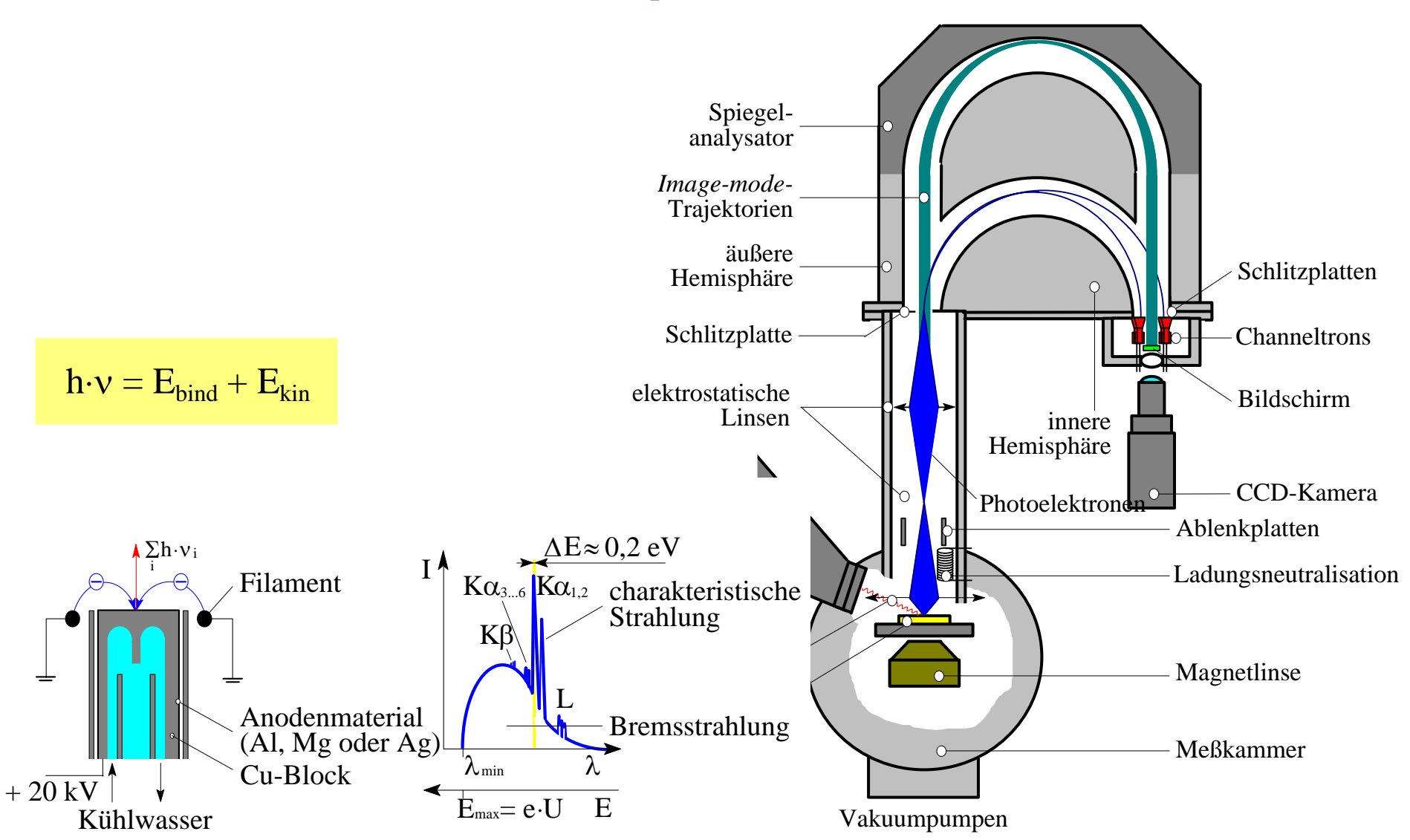
Siegbahn, K.: Beta-ray-spectrometer theory and design. High resolution spectroscopy. *In:* Beta- and gamma-ray spectroscopy. (ed. by K. Siegbahn). Nort-Holland Publ. Co., Amsterdam (1955), S. 52





#### Das Röntgen-Photoelektronenspektrometer

- Prinzipieller Aufbau -







#### Röntgen-Photoelektronenspektrometer

- Axis Ultra (Kratos Analytical, Manchester, Großbritannien) -

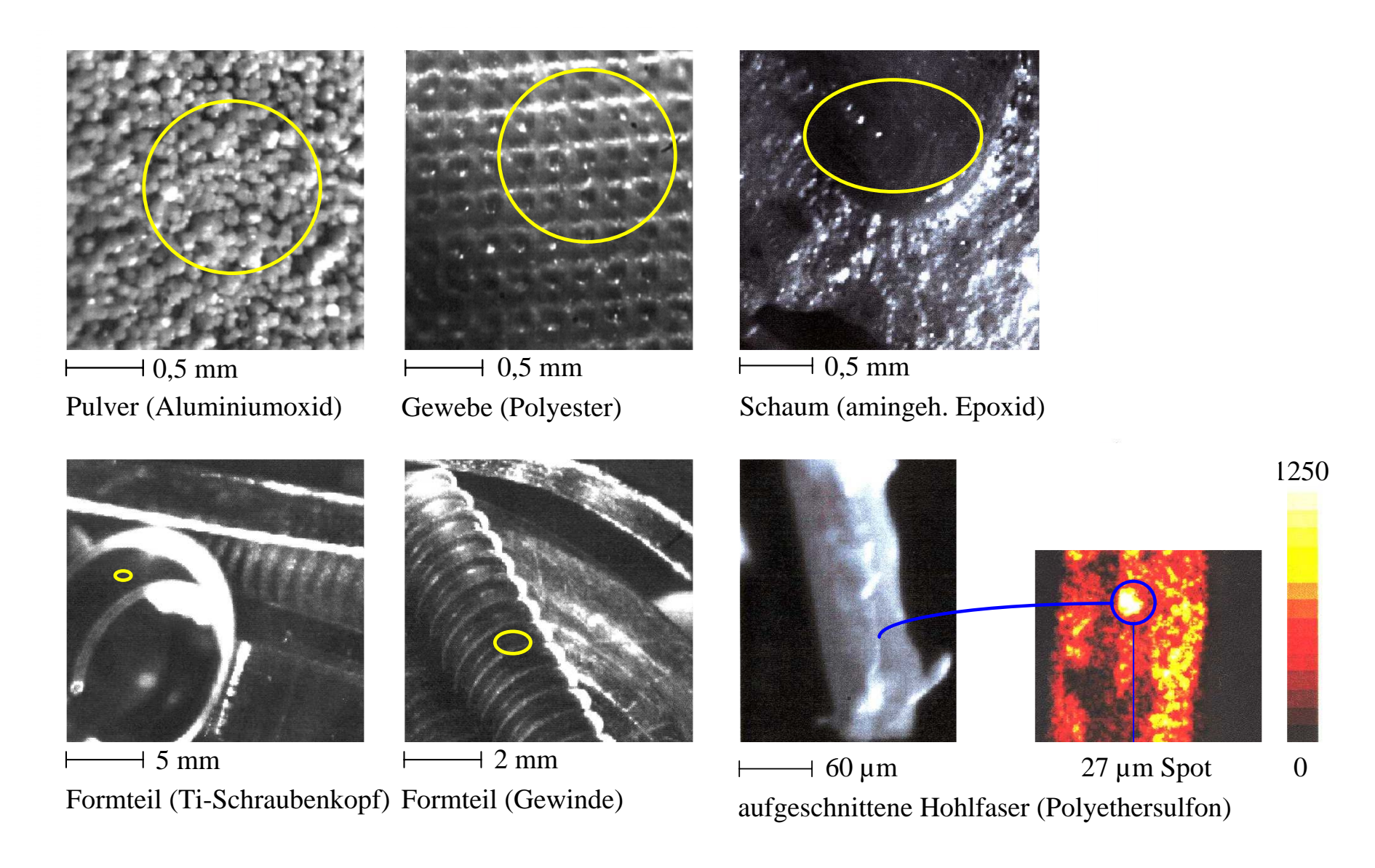


Vakuum: ca. 10<sup>-12</sup> mbar, bei 20 °C ein Stoß/30 Jahre (bei Normaldruck 10<sup>9</sup> Stöße/s)





#### **Beliebige Probenformen**

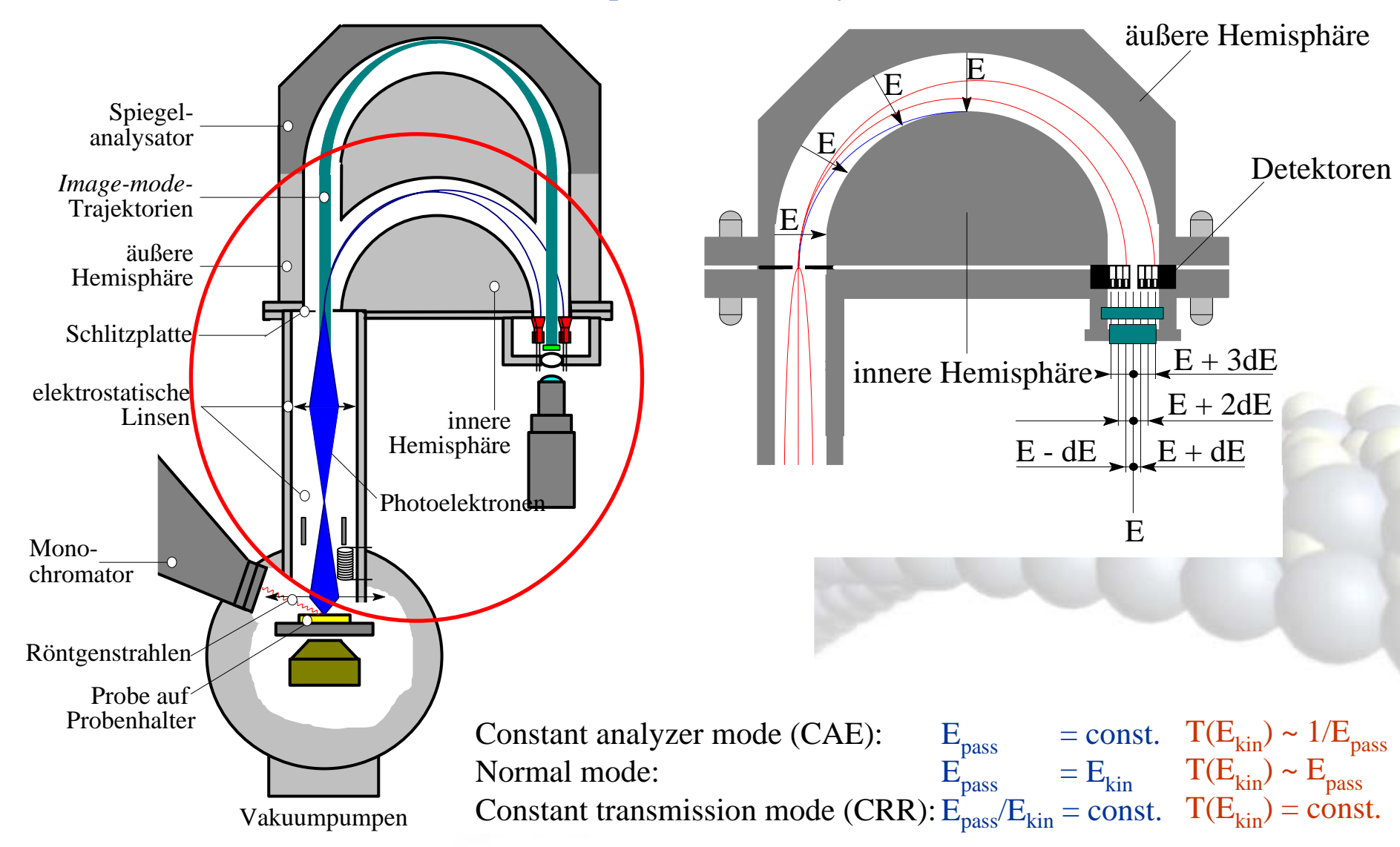






#### Energieanalysator zur Bestimmung von $E_{\rm kin}$

– 180° hemisphärischer Analysator –



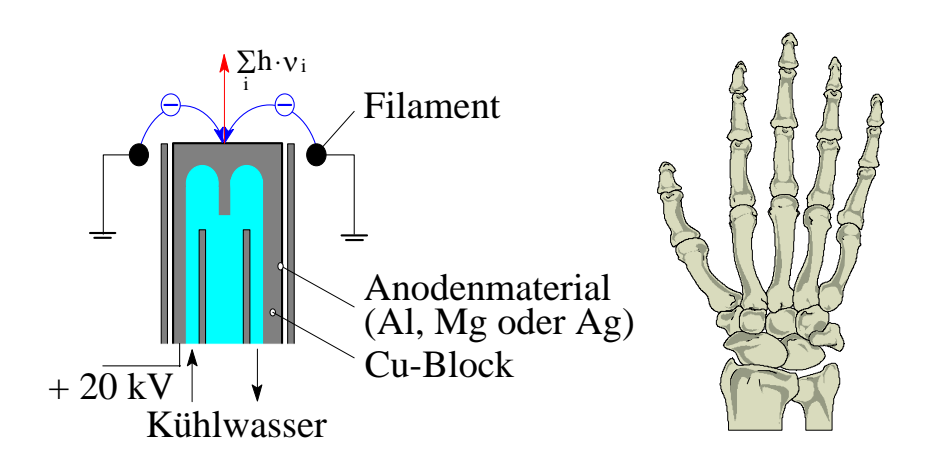




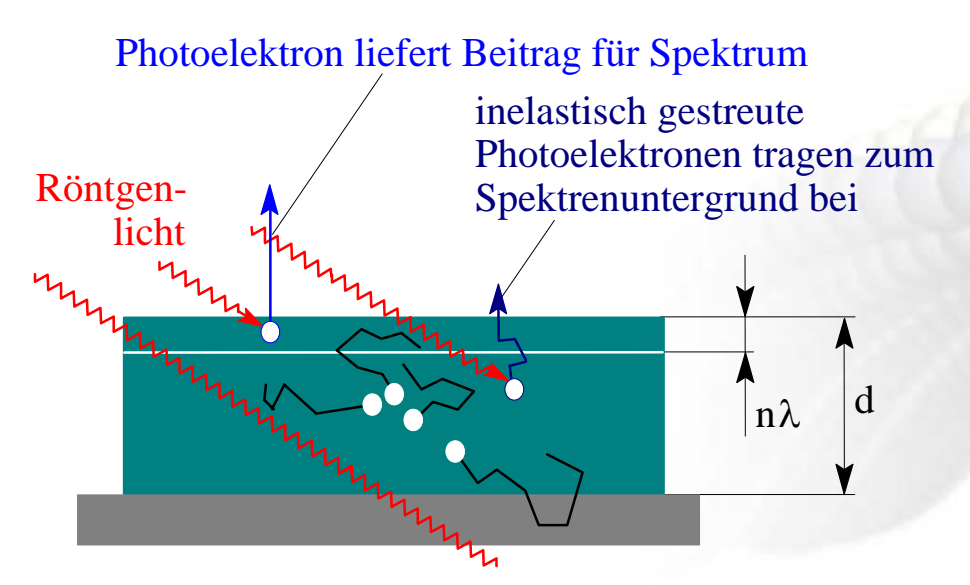
#### **XPS** – Eine oberflächensensitive Technik

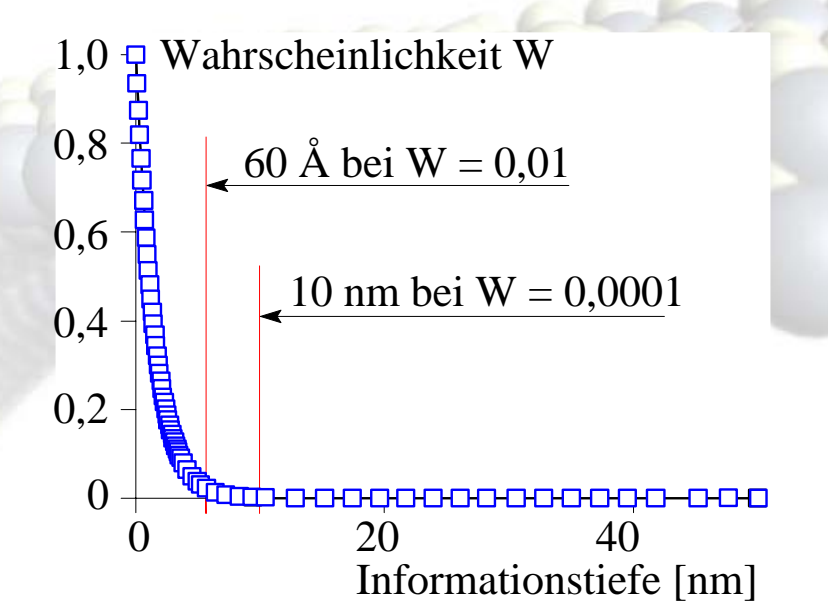
– Wie tief schaut man in die Probe rein? –

#### Hohe Oberflächenempfindlichkeit vs. Röntgenstrahlung



# $dI = A \cdot N \cdot exp \left[ -\frac{x}{\lambda} \right] dx$ mittlere freie Weglänge der Photoelektronen im Material $\lambda \left( C \ 1s, \ Al\alpha \right) = 1,2 \ nm$ $I_d = I_\infty \cdot \left( 1 - exp \left[ -\frac{d}{\lambda} \right] \right)$



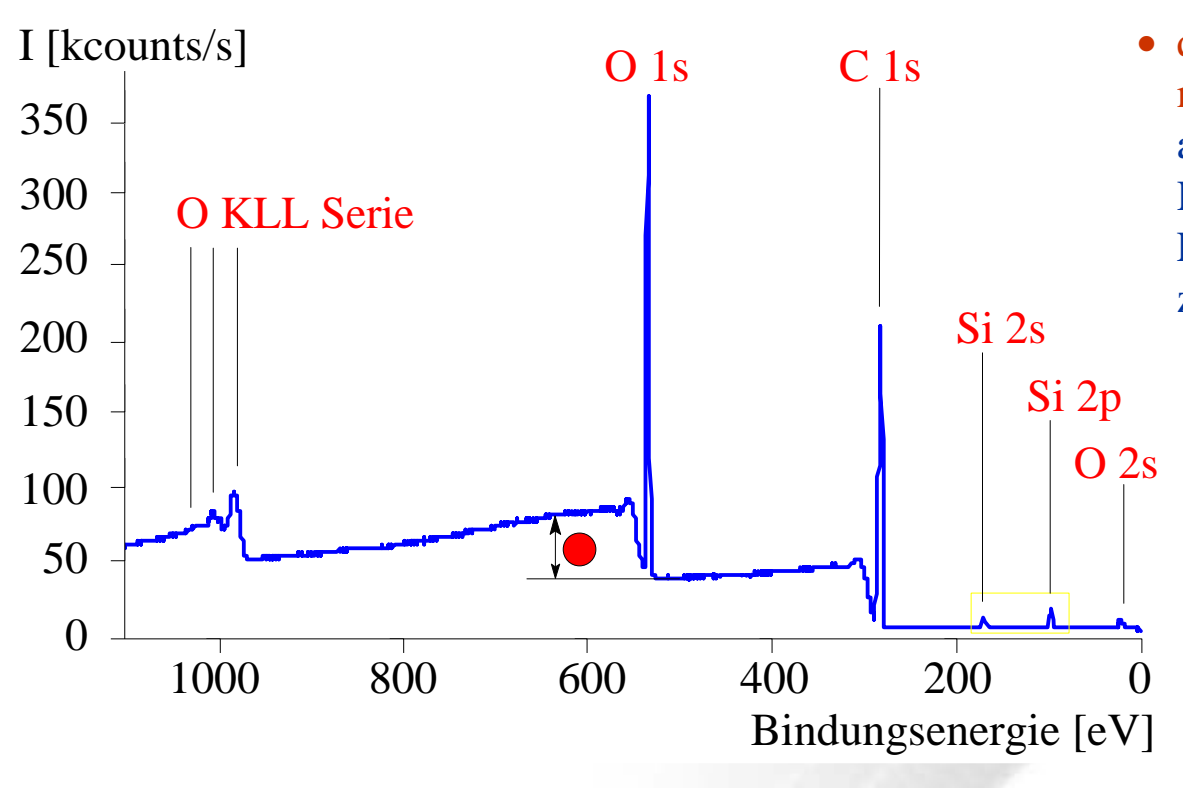






#### Interpretation von Röntgen-Photoelektronenspektren

z.B. Poly(3-hydroxybuttersäure) –



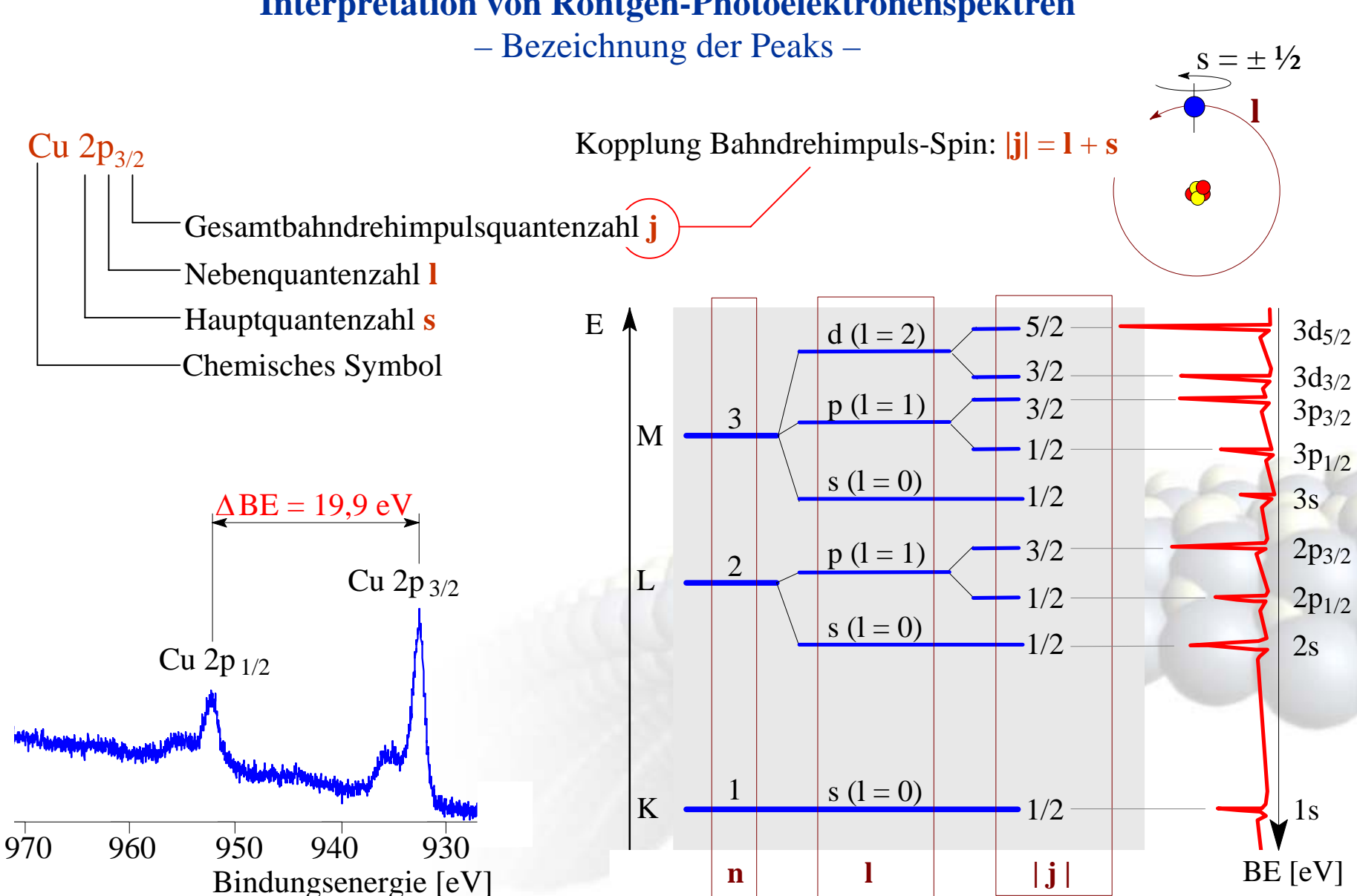
qualitative Oberflächenanalyse (elementspezifisch)
 alle Elemente außer Wasserstoff und
 Helium
 Elemente höherer Ordnungszahlen
 zeigen mehrere Peaks.

$$- \begin{bmatrix} CH_3 & O \\ -CH & CH_2 - C \end{bmatrix}_n$$





#### Interpretation von Röntgen-Photoelektronenspektren

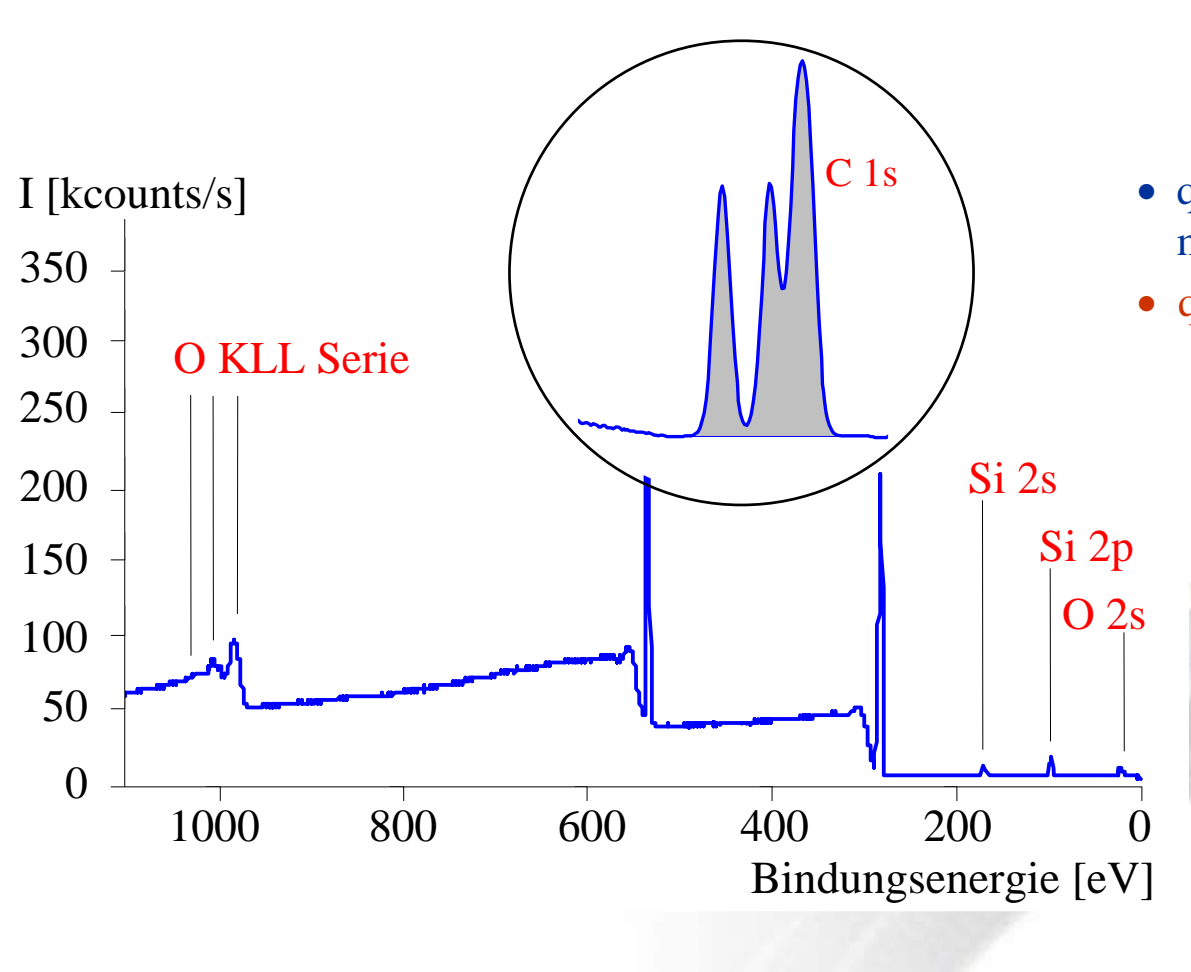






#### Quantifizierung von Röntgen-Photoelektronenspektren

z.B. Poly(3-hydroxybuttersäure) –

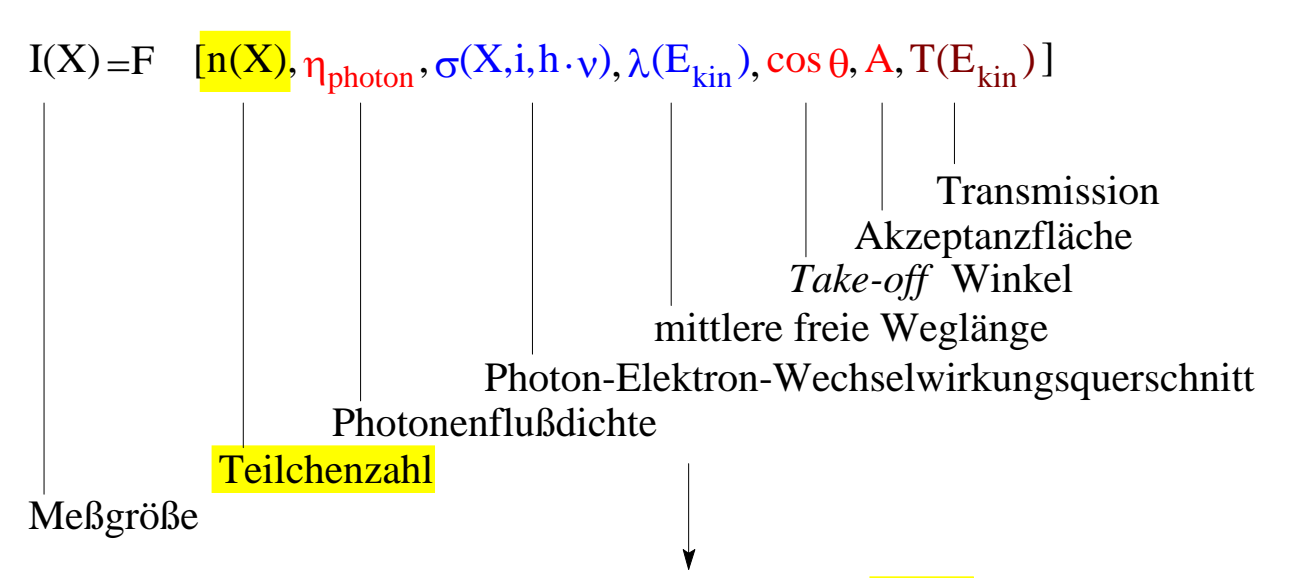


- qualitative Oberflächenanalyse (elementspezifisch),
- quantitative Oberflächenanalyse

$$[O]:[C] = 0.456 \text{ (soll: 0,5)}$$
  
 $[Si]:[C] = 0.005$ 



#### Quantifizierung von Röntgen-Photoelektronenspektren



Im allgemeinen interessieren nur relative Angaben. z.B. SiO₂ entspricht einem Atomverhältnis [Si]:[O] = 1:2

↓

Angaben in Atomprozent [At-%]

$\frac{I(X_1)}{I(X_1)} = \frac{n(X_1) \cdot \sigma(X_1) \cdot \lambda(E_{kin}[X_1]) \cdot T(E_{kin}[X_1])}{I(X_1)} = \frac{I(X_1) \cdot \sigma(X_1) \cdot \lambda(E_{kin}[X_1])}{I(X_1) \cdot \sigma(X_1) \cdot \delta(X_1)} = \frac{I(X_1) \cdot \sigma(X_1) \cdot \lambda(E_{kin}[X_1])}{I(X_1) \cdot \sigma(X_1) \cdot \delta(X_1)} = \frac{I(X_1) \cdot \sigma(X_1) \cdot \lambda(E_{kin}[X_1])}{I(X_1) \cdot \sigma(X_1) \cdot \delta(X_1)} = \frac{I(X_1) \cdot \sigma(X_1) \cdot \lambda(E_{kin}[X_1])}{I(X_1) \cdot \sigma(X_1) \cdot \delta(X_1)} = \frac{I(X_1) \cdot \sigma(X_1) \cdot \lambda(E_{kin}[X_1])}{I(X_1) \cdot \delta(X_1) \cdot \delta(X_1)} = \frac{I(X_1) \cdot \sigma(X_1) \cdot \lambda(E_{kin}[X_1])}{I(X_1) \cdot \delta(X_1) \cdot \delta(X_1)} = \frac{I(X_1) \cdot \sigma(X_1) \cdot \lambda(E_{kin}[X_1])}{I(X_1) \cdot \delta(X_1) \cdot \delta(X_1)} = \frac{I(X_1) \cdot \delta(X_1) \cdot \lambda(E_{kin}[X_1])}{I(X_1) \cdot \delta(X_1) \cdot \delta(X_1)} = \frac{I(X_1) \cdot \lambda(E_{kin}[X_1])}{I(X_1) \cdot \delta(X_1)} = \frac{I(X_1) \cdot \lambda(E_{kin}[X_1])$	$c(X_1)$	$T(E_{kin}[X_1])$ $SF(X_1)$
$\frac{I(X_2)}{I(X_2)} = \frac{1}{n(X_2)} \frac{1}{\sigma(X_2)} \frac{1}{\lambda(E_{kin}[X_2])} \frac{1}{T(E_{kin}[X_2])} = \frac{1}{n(X_2)} \frac{1}{\sigma(X_2)} $		

Elementpeak	SF
C 1s	0,278
F 1s	1,000
O 1s	0,549
O 2s	0,033
Ag 3d <sub>5/2</sub>	3,592

relativer Empfindlichkeitsfaktor wird experimentell bestimmt

Verschiedene Elemente lassen sich mit unterschiedlicher Empfindlichkeit und daher auch mit unterschiedlichen Nachweisgrenzen bestimmen.

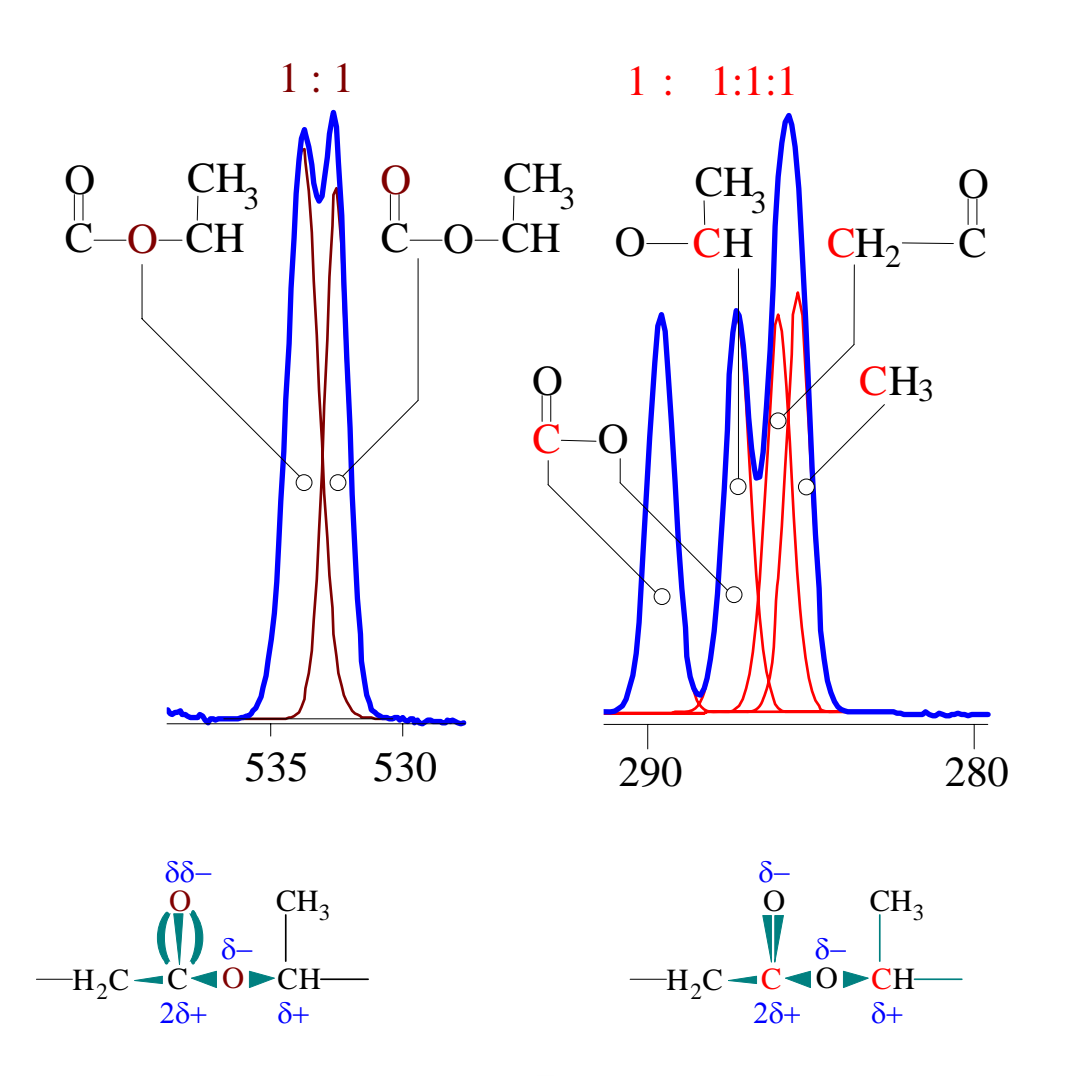
Im allgemeinen können einzelne Elementgehalte mit etwa 0,1 At-% sicher nachgewiesen werden.





#### Chemische Verschiebung – Strukturaufklärung

z.B. Poly(3-hydroxybuttersäure) –



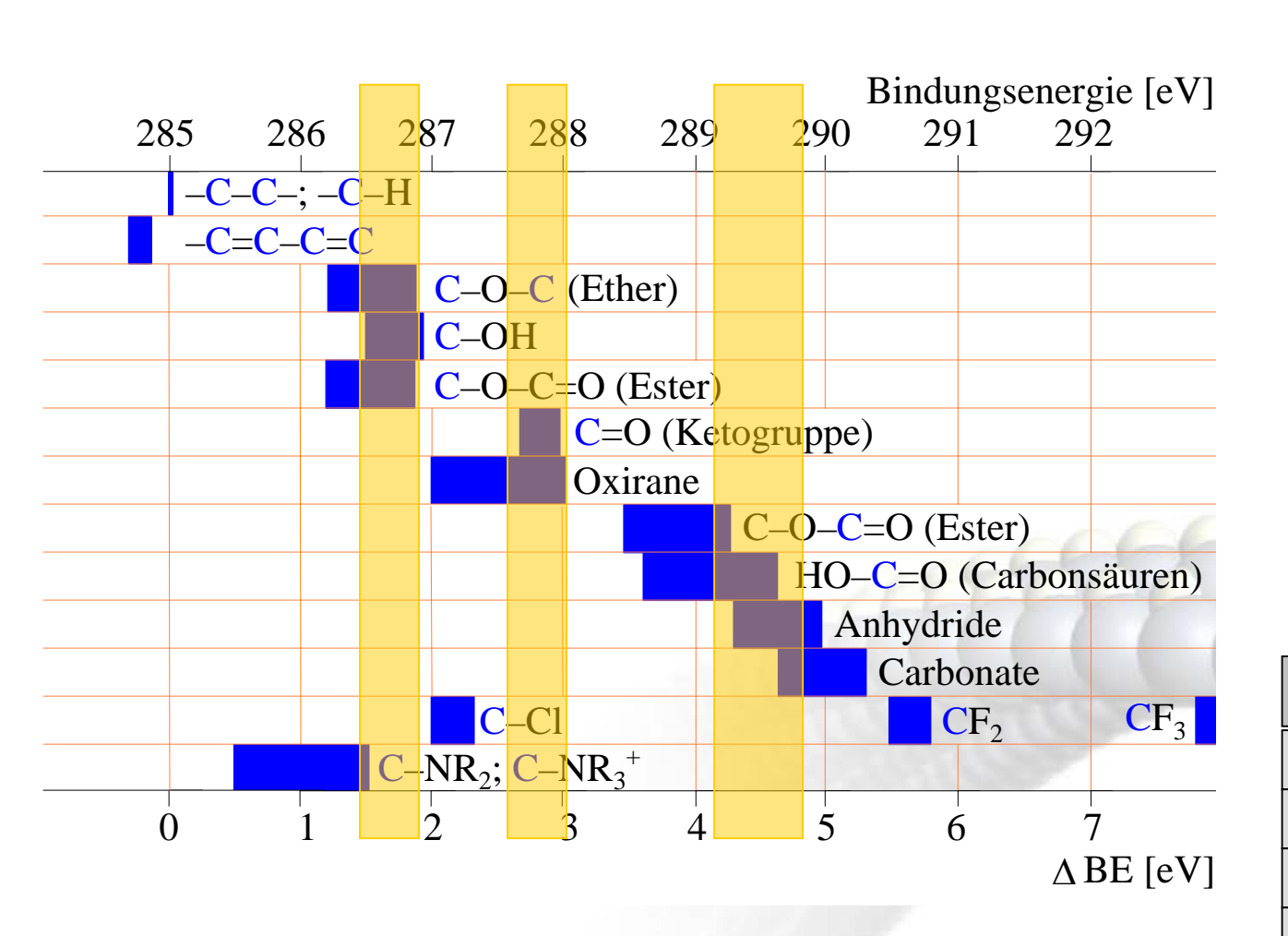
- qualitative Oberflächenanalyse (elementspezifisch),
- quantitative Oberflächenanalyse
- chemische Umgebung eines Elements (Art der funktionellen Gruppen, Oxidationsgrad),

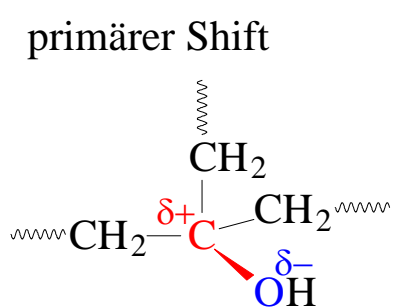




#### Chemische Verschiebung und Bindungszustände

- Qualitativer und quantitativer Nachweis von funktionellen Gruppen -





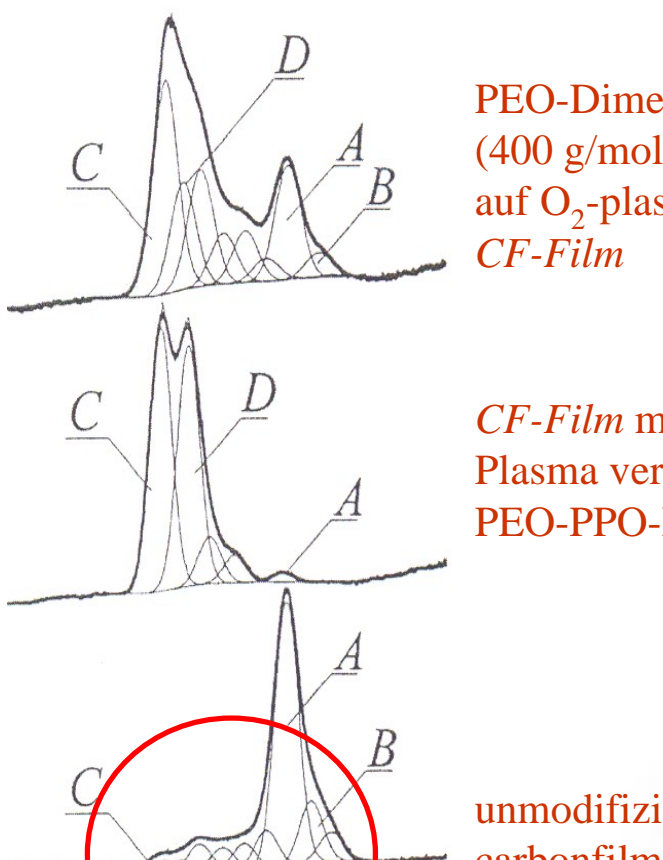
β-Shift durch stark elektronegative Gruppen

	ΔΒΕ
HO-C- <b>C</b> -	0,050,2 eV
O–C(O)–C-	0,40,6 eV
F-C-C-	0,50,7 eV
Cl-C-C-	0,4 eV





#### Energieaufgelöste Röntgen-Photoelektronenspektren zum Nachweis von Oberflächenreaktionen



300

290

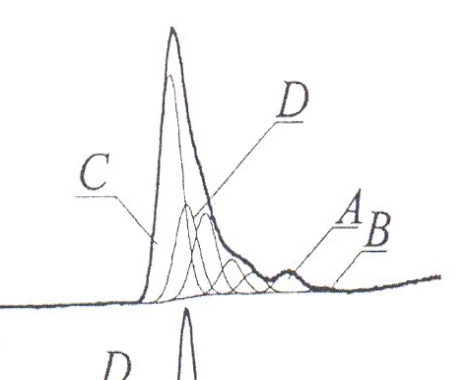
Binding Energy [eV]

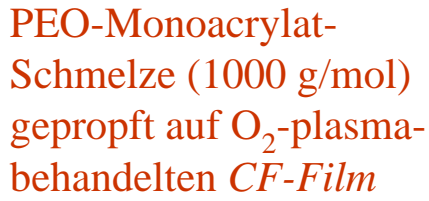
280

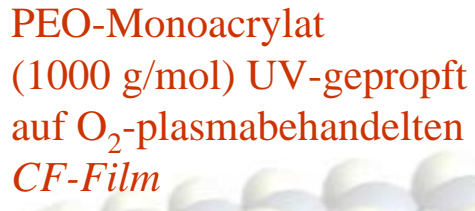
PEO-Dimethacrylat (400 g/mol) UV-gepropft auf O<sub>2</sub>-plasmabehandelten

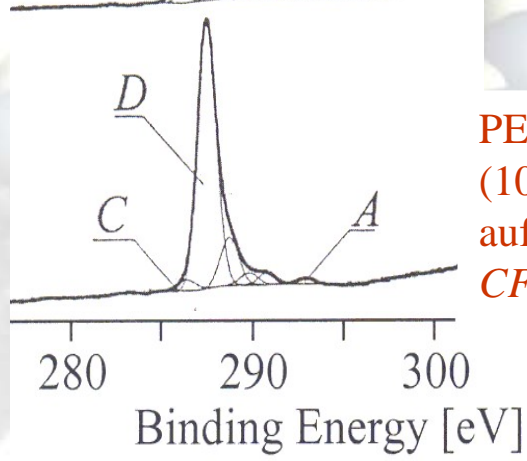
CF-Film mit im Ar-Plasma vernetztem PEO-PPO-PEO

unmodifizierter Fluor carbonfilm (*CF-Film*)









PEO-Monoacrylat (1000 g/mol) gepropft auf O<sub>2</sub>-plasmabehandelten CF-Film



#### **Derivatisierung funktioneller Gruppen**

– Doppelbindungen und Carbonsäuren –

#### Doppelbindungen

$$+$$
  $Br_2$   $\longrightarrow$   $Br$ 

$$+ OsO_4 \longrightarrow -OOS O$$

#### Carbonsäuren

$$+ Br_2 \longrightarrow \begin{array}{c} Br \\ Br \\ OH \\ CH_3 \end{array} \longrightarrow \begin{array}{c} CH_3 \\ O-Si-CH_3 \\ CH_3 \end{array} + HN \\ N$$

$$+ \operatorname{OsO_4} \longrightarrow \begin{array}{c} -\operatorname{O} & \operatorname{O} \\ \operatorname{Os} \\ -\operatorname{O} & \operatorname{O} \end{array} \qquad \begin{array}{c} \operatorname{O} \\ + \operatorname{R_3N} \\ \operatorname{OH} \end{array} \qquad \begin{array}{c} \operatorname{O} \\ \oplus \\ \operatorname{O} \end{array} \qquad \begin{array}{c} \oplus \\ \operatorname{O} \end{array}$$

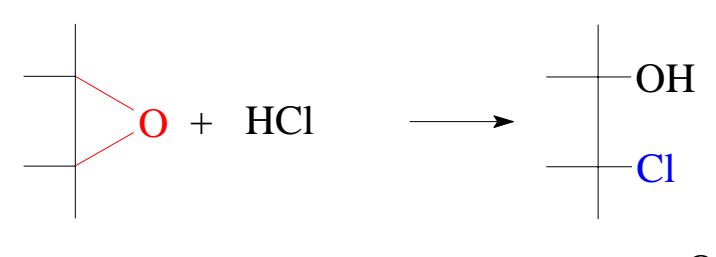


#### **Derivatisierung funktioneller Gruppen**

- Alkohole, Oxirane und Amine -

#### **Alkohole**

#### **Oxirane**



#### **Amine**

$$-NR_{2} + Cl - O-CH_{2} - F$$

$$F F$$

$$R O$$

$$-N - O-CH_{2} - F$$

$$F F$$

$$-NH_2 + CS_2 \longrightarrow -N \xrightarrow{H} SH$$



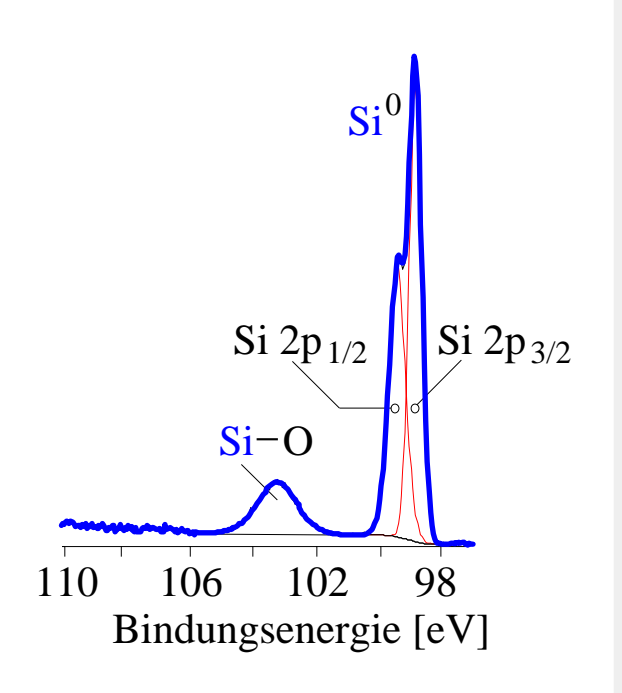


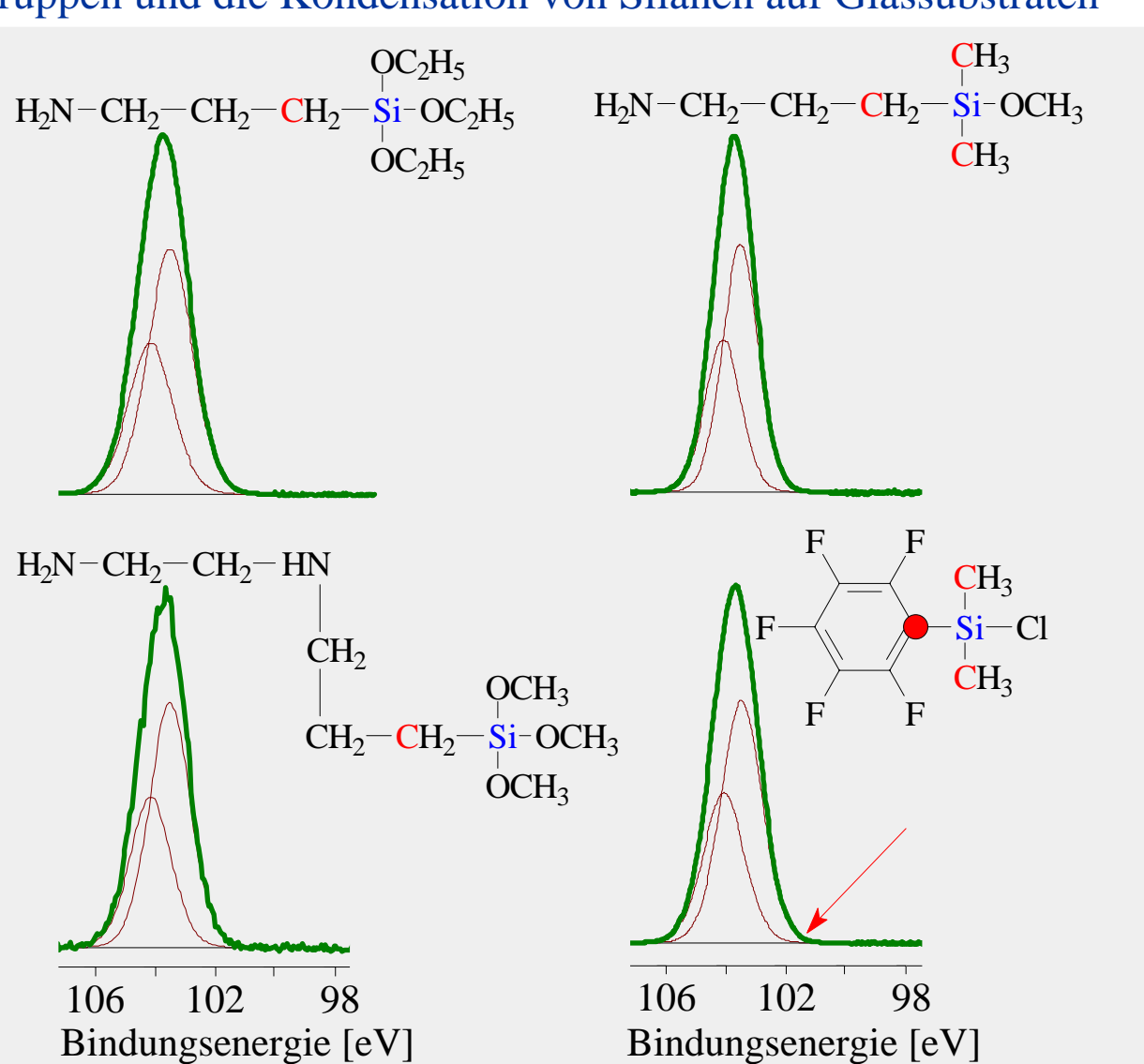
#### Chemische Verschiebung im Si 2p Spektrum

– Zum Nachweis von Silanolgruppen und die Kondensation von Silanen auf Glassubstraten –

Keine ausreichende chemische Verschiebung bei BE ca. 102 eV.

Keine Separation von O–Si(–O)<sub>3</sub>, Si–OH und Si–C.



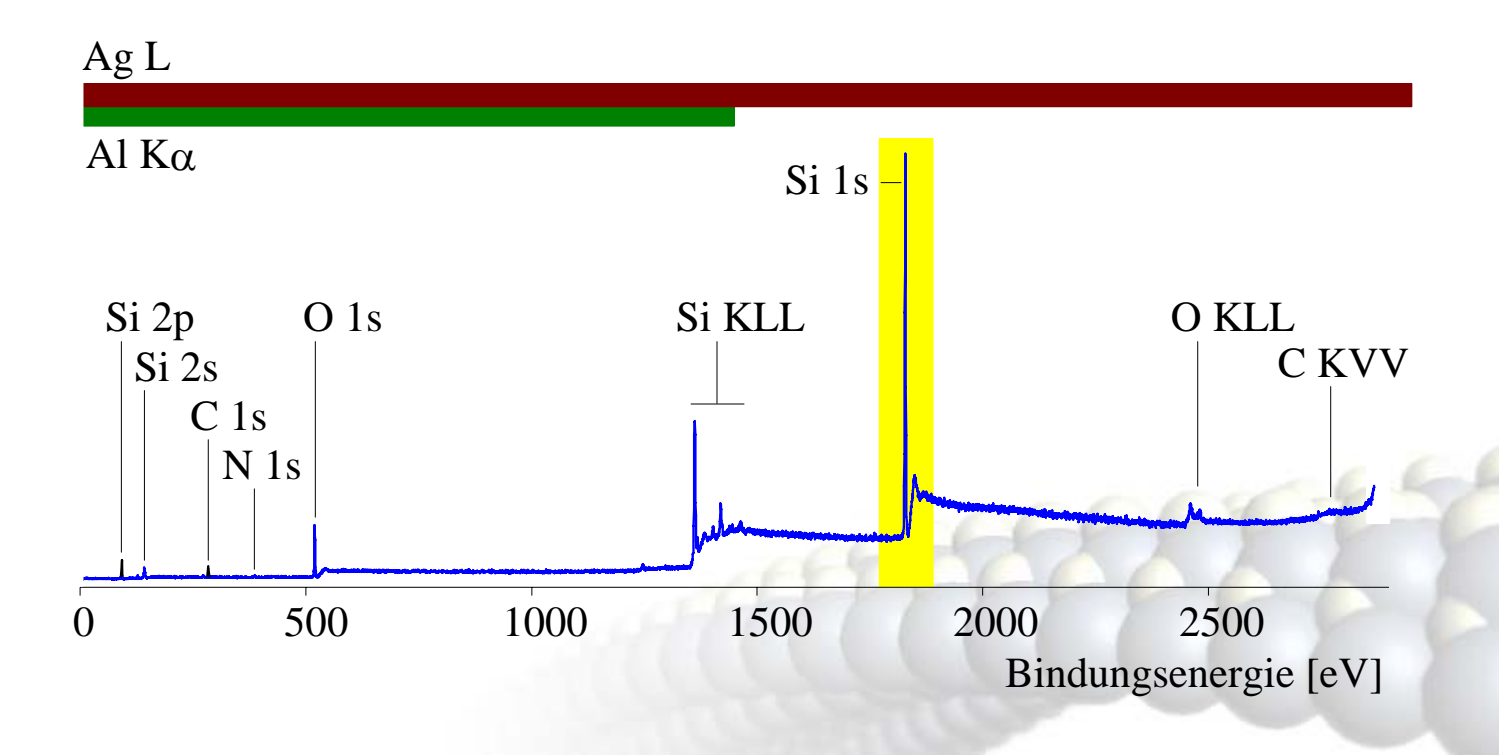






#### XPS mit höherenergetischer Primärstrahlung

– Zum Nachweis von Silanolgruppen und die Kondensation von Silanen auf Glassubstraten –



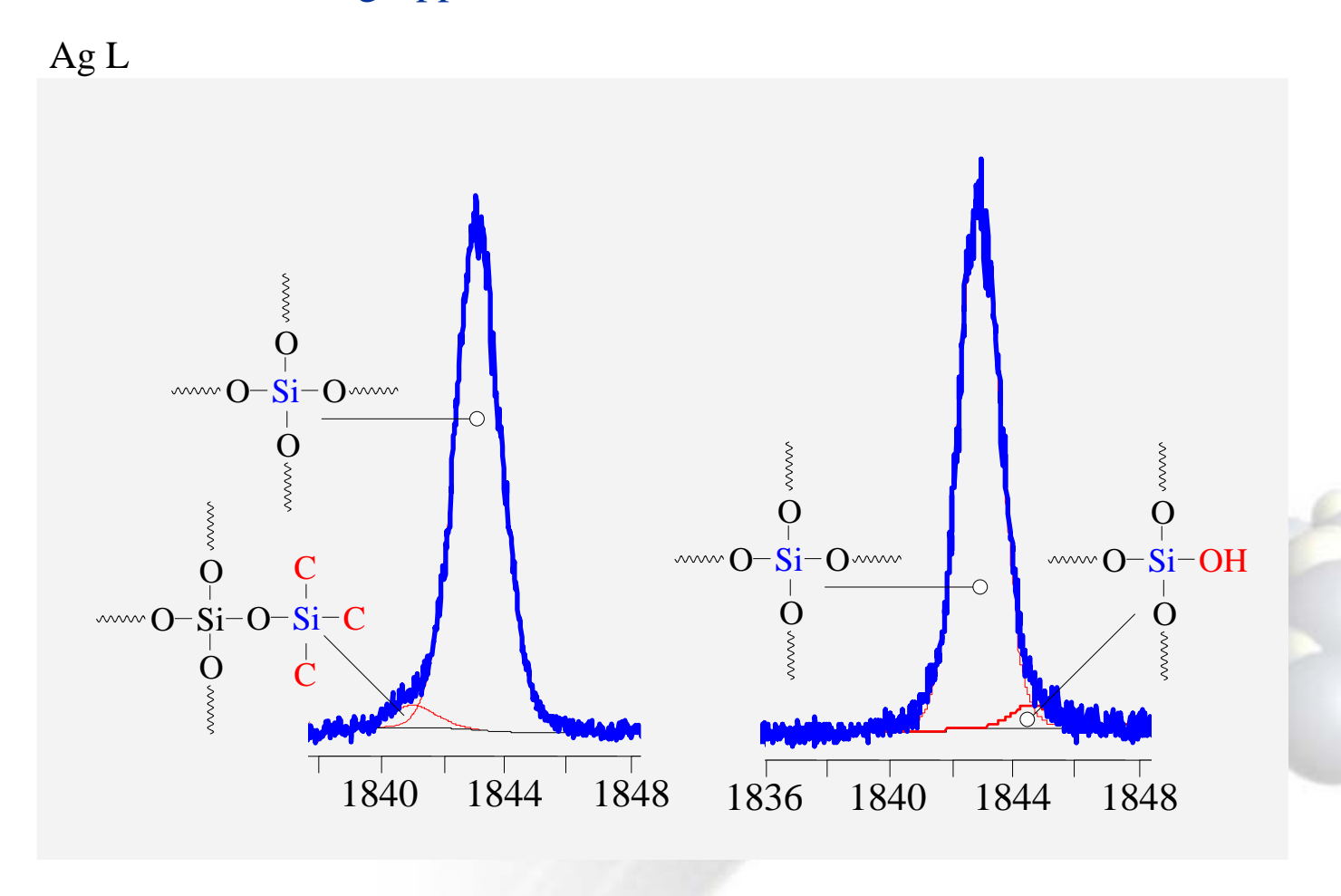
Pleul, D.; Frenzel, R.; Eschner, M.; Simon, F.: X-ray photoelectron spectroscopy for the detection of different Si–O bonding states of silicon. Analytical and Bioanalytical Chemistry, 375 (2003) 1276-1281.





#### XPS mit höherenergetischer Primärstrahlung

– Zum Nachweis von Silanolgruppen und die Kondensation von Silanen auf Glassubstraten –



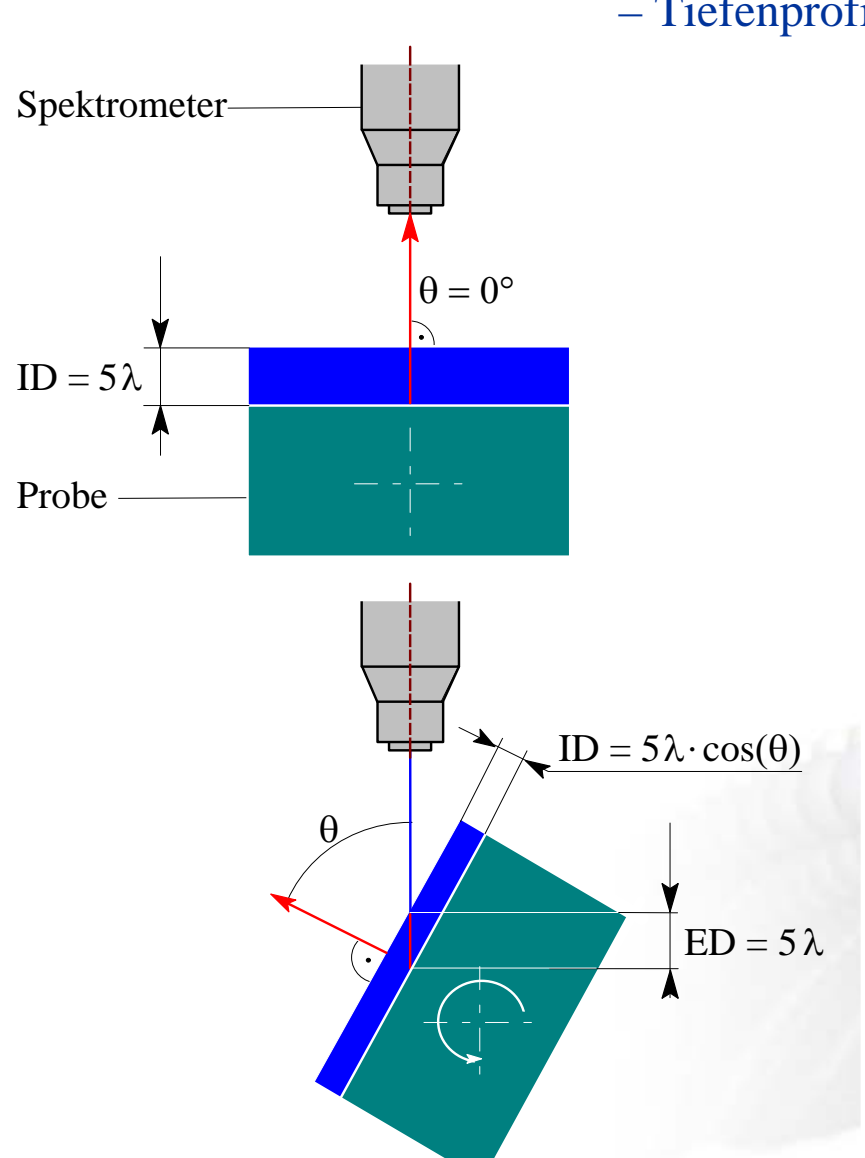
Pleul, D.; Frenzel, R.; Eschner, M.; Simon, F.: X-ray photoelectron spectroscopy for the detection of different Si–O bonding states of silicon. Analytical and Bioanalytical Chemistry, 375 (2003) 1276-1281.

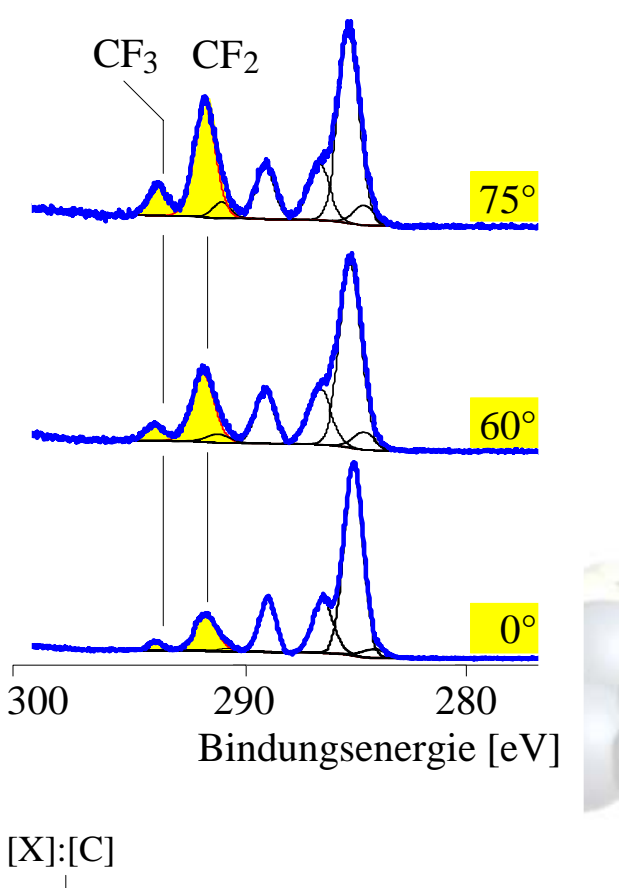


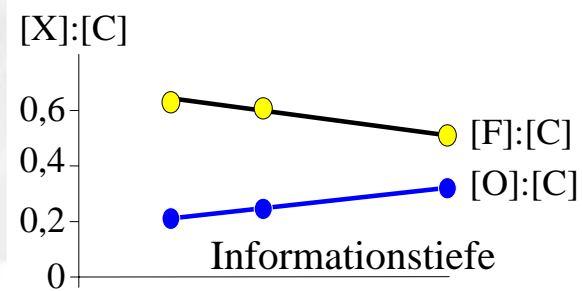


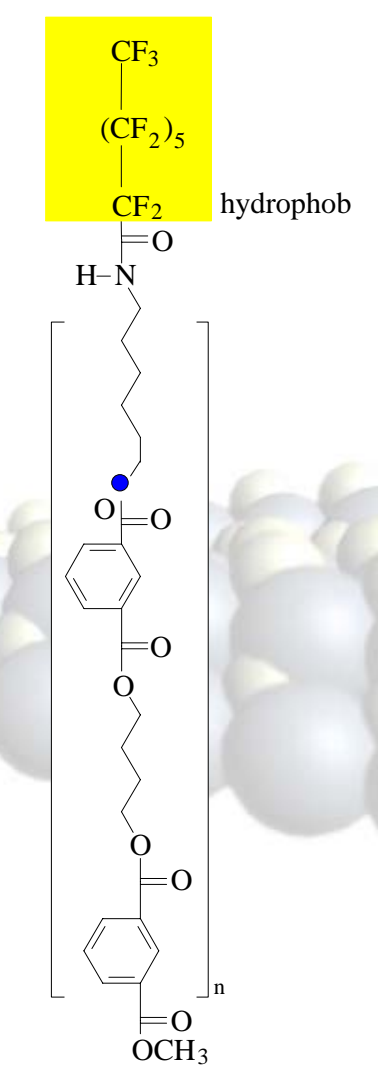
#### Winkelaufgelöste Photoelektronenspektroskopie (AR-XPS)

- Tiefenprofile im nm-Bereich -







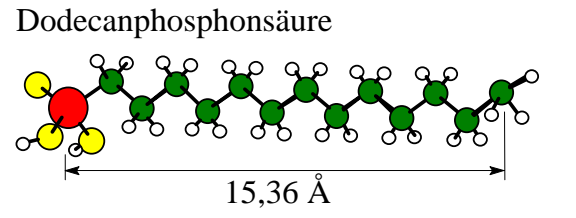


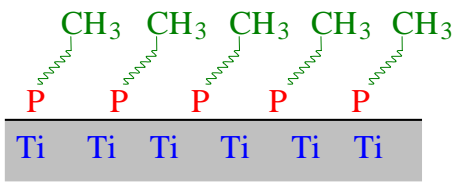




#### Winkelaufgelöste Photoelektronenspektroskopie (AR-XPS)

- Untersuchungen zum Aufbau molekular dünner Schichten -





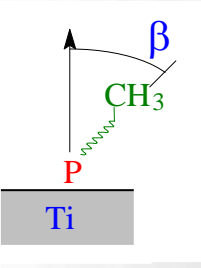
Element	take-off 0°	take-off 60°	take-off 75°
x [Ti]	0,1610	0,1249	0,1243
x [C]	0,7973	0,8326	0,8336
x [P]	0,0417	0,0424	0,0421
[P]:[C] <sub>theo</sub>	= 0.0833	[P]:[C] <sub>rea</sub>	$_{\text{lii}} = 0.051$

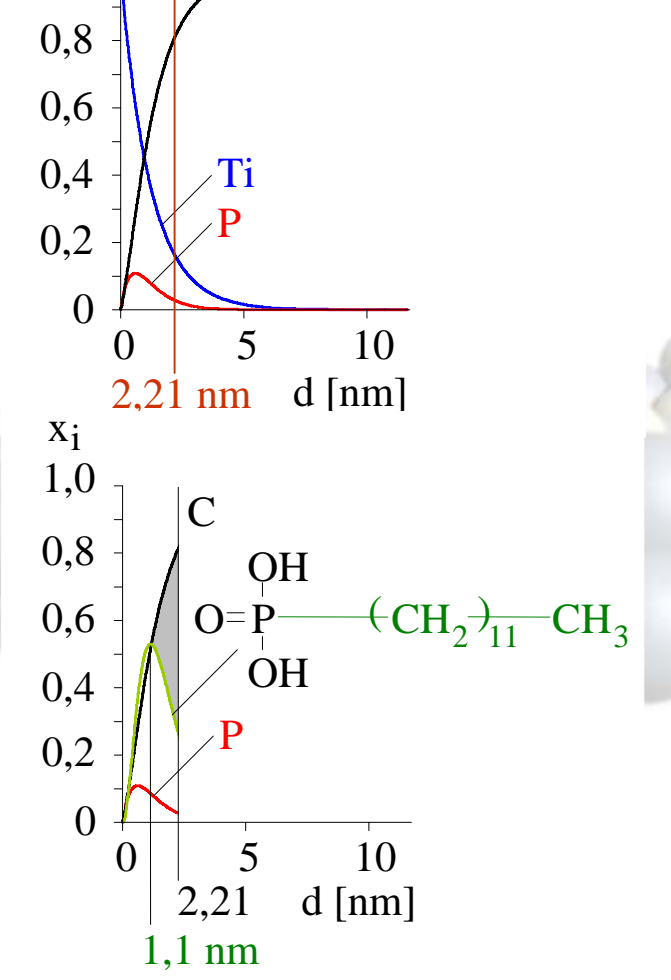
$$x_{i} = \frac{[i]}{\sum_{i=1}^{k} [j]}$$

x<sub>i</sub> 1,0

$$cos β = {eff. Schichtdicke \over Moleküllänge} = {1,1 nm \over 1,54 nm}$$

$$β \approx 44°$$



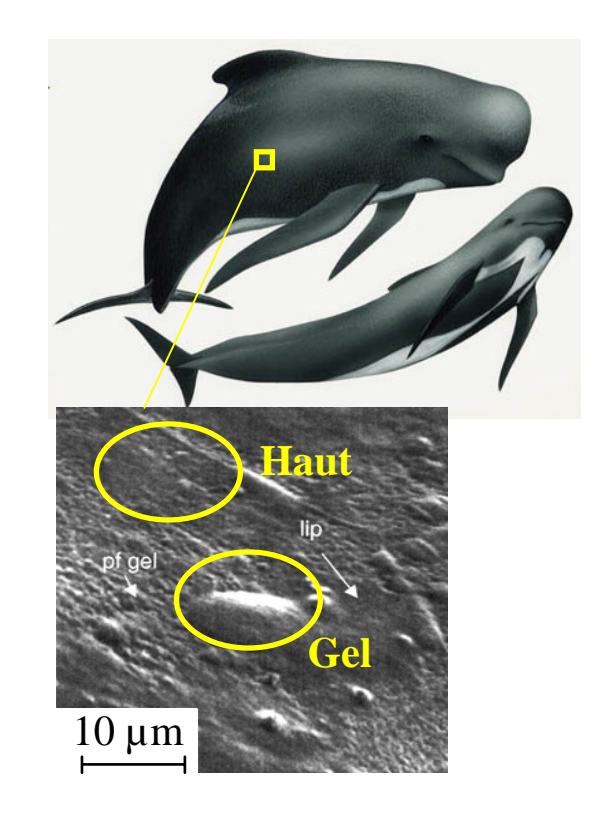




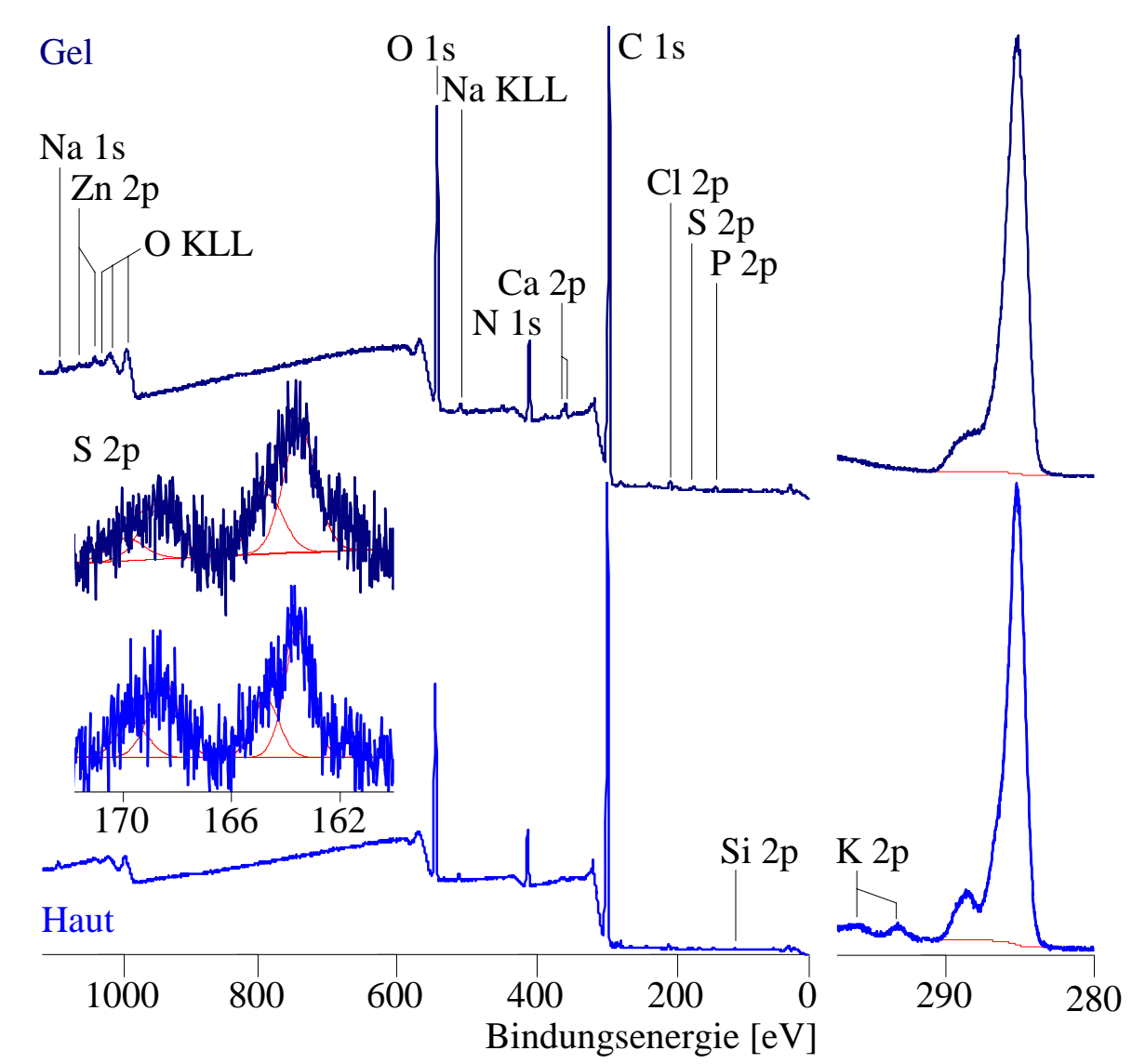


#### XPS an biologischen Substraten

– Photoelektronenspektroskopie bei tiefen Temperaturen (Kryo-XPS) –



Baum, C.; Simon, F.; Meyer, W.; Fleischer, L.G.; Siebers, D.: Surface properties of the skin of Delphinids. Biofouling 19 (2003) 181-186

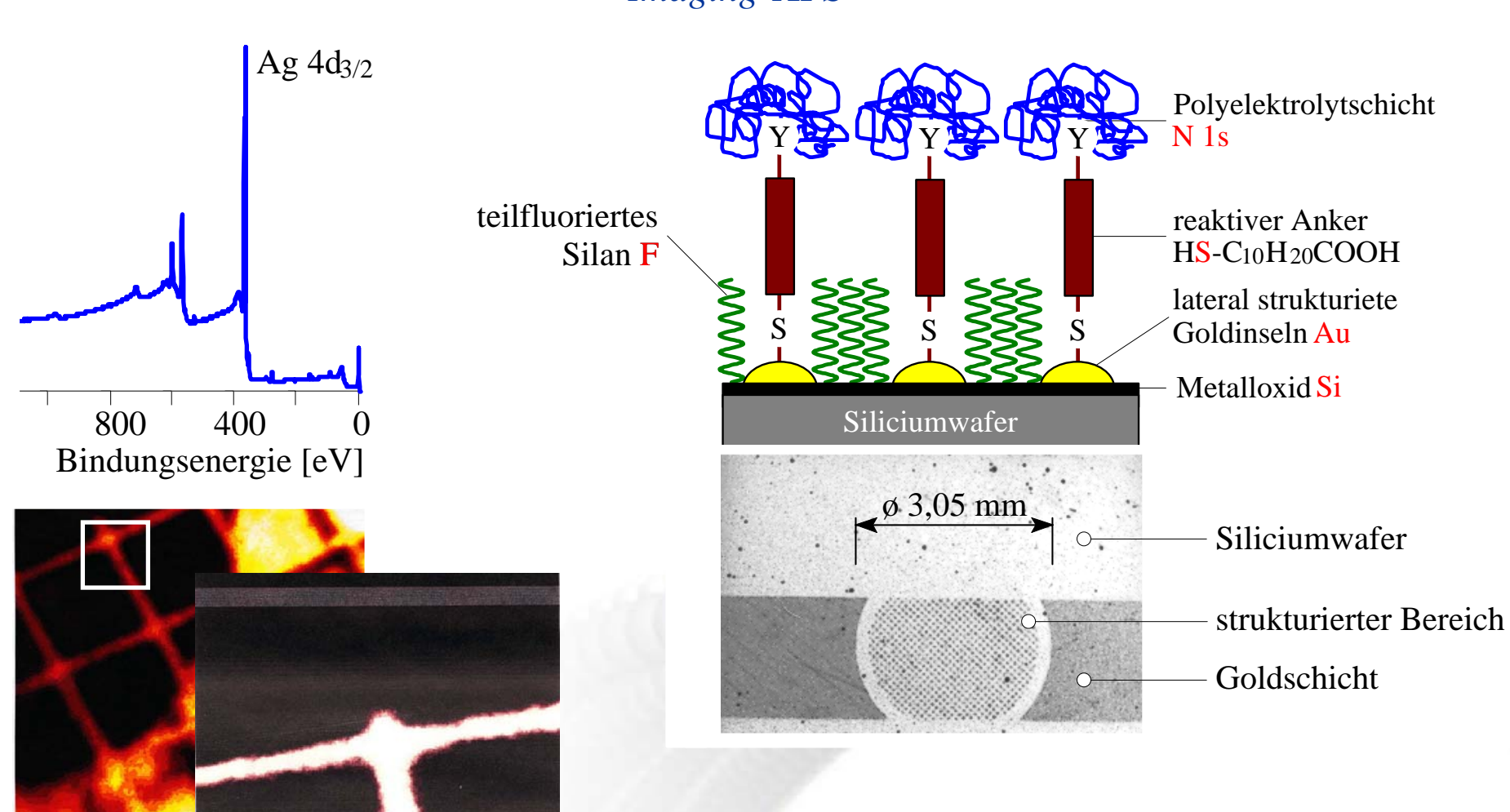






#### Abbildende Photoelektronenspektroskopie

- Imaging-XPS -

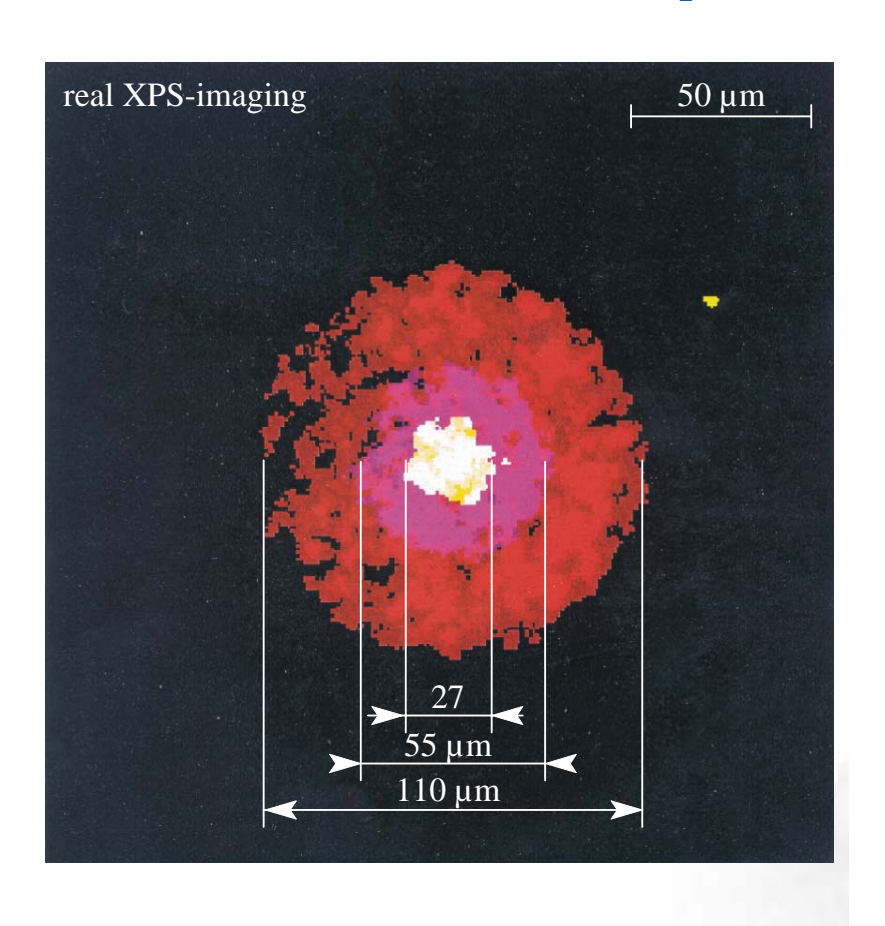


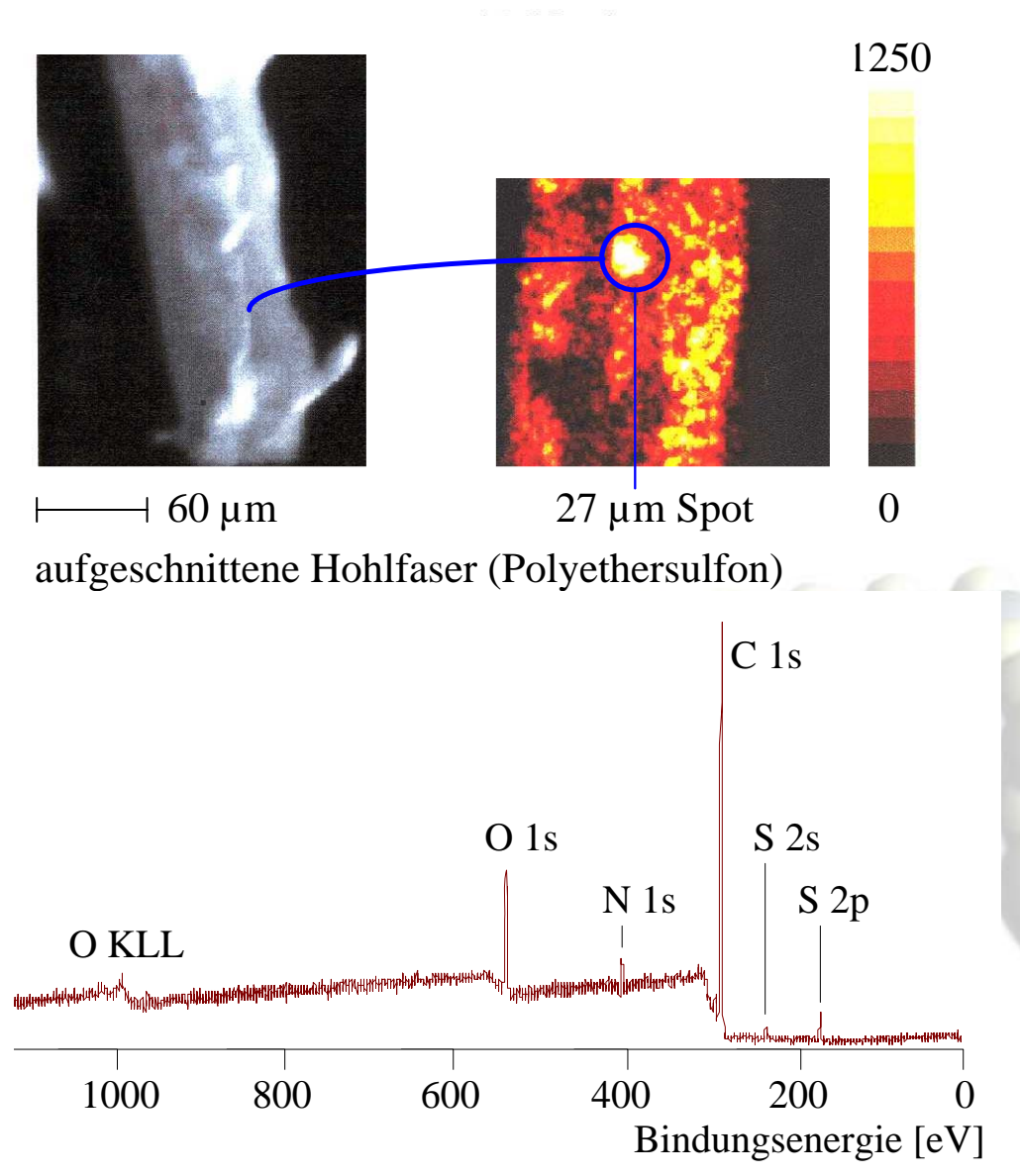
Eschner, M.; Simon, F.; Pleul, D.; Spange, S.: *In:* "Dresdener Beiträge zur Sensorik", Band 16, w.e.b. Universitätsverlag, Dresden (2002) 149-153, ISBN 3-935712-71-5





#### Small-Spot-Photoelektronenspektroskopie



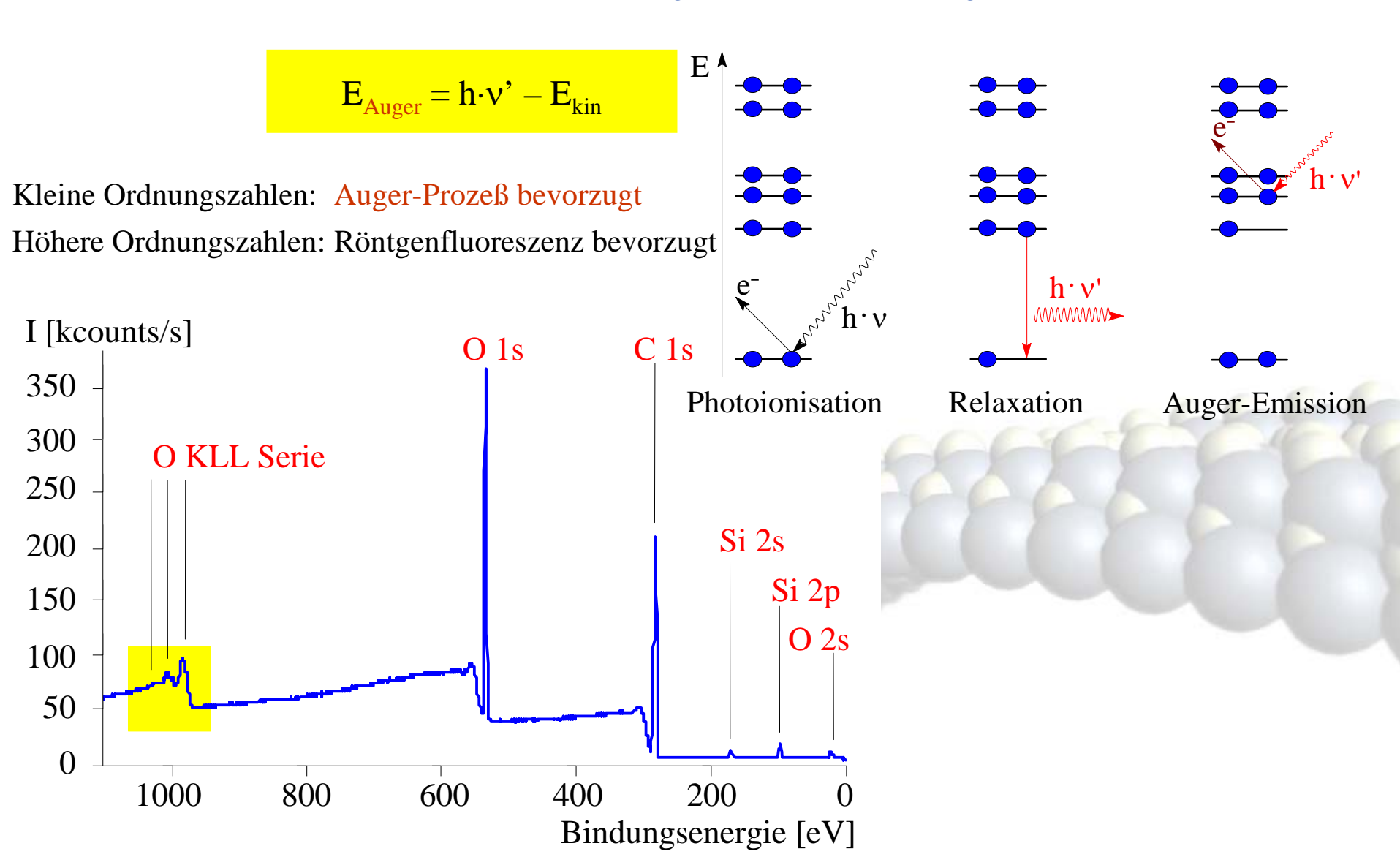






#### Auger-Elektronenspektroskopie (AES)

- Relaxaktion: In Konkurrenz Auger-Prozeß und Röntgenfluoreszenz -

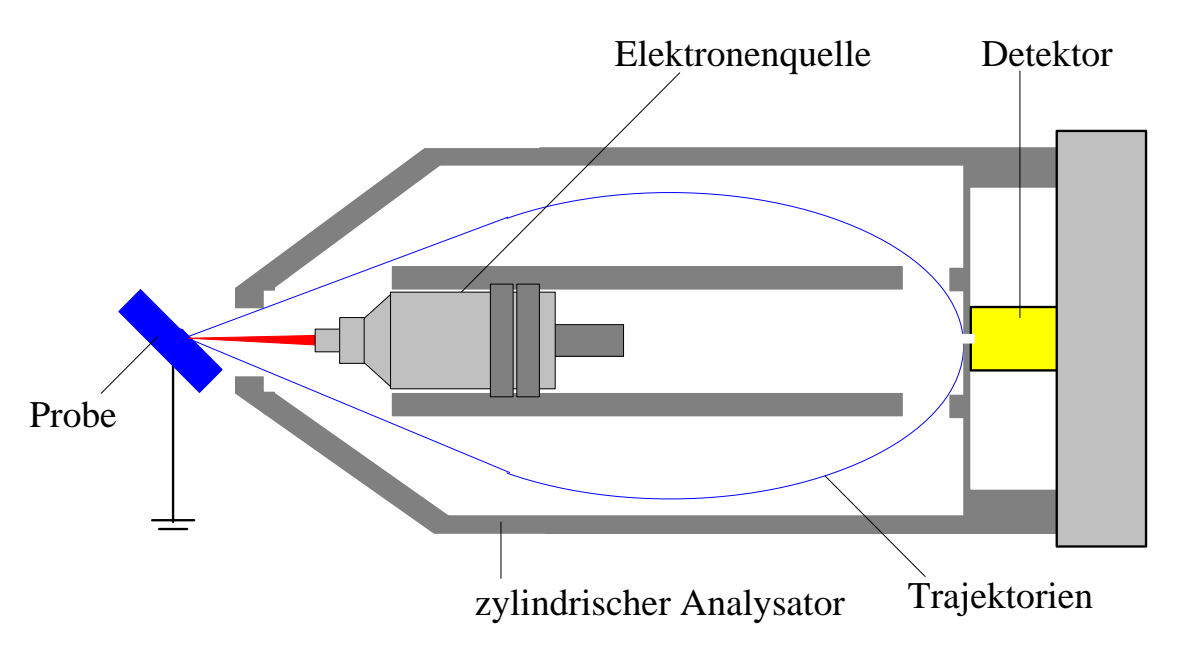






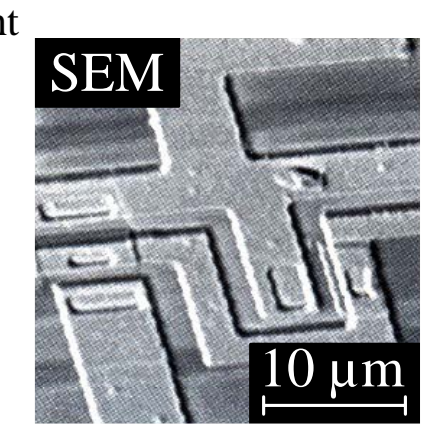
#### **Auger-Elektronenspektroskopie (AES)**

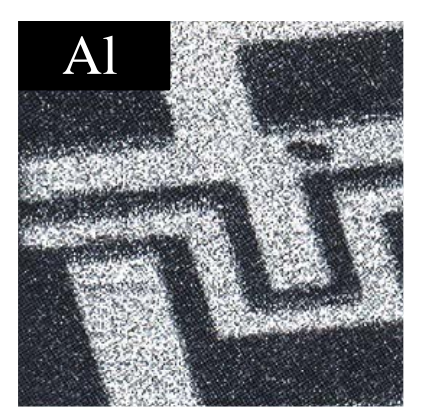
- Auger-Elektronenspektrometer -

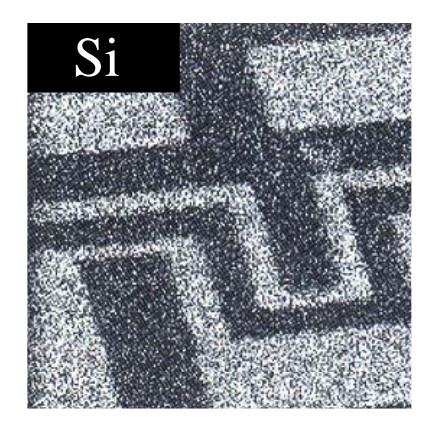


- qualitative Oberflächenanalyse (elementspezifisch),
- quantitative Oberflächenanalyse
- chemische Umgebung eines Elements (Art der funktionellen Gruppen, Oxidationsgrad),
- Tiefenprofilanalyse, insbesondere in Verbindung mit *Sputtern*,
- abbildende Auger-Elektronenspektroskopie (*Imaging-AES*).

Elektronenstrahlquelle ermöglicht Extrem **hohe Ortsauflösung** (bis ca. 5 nm)





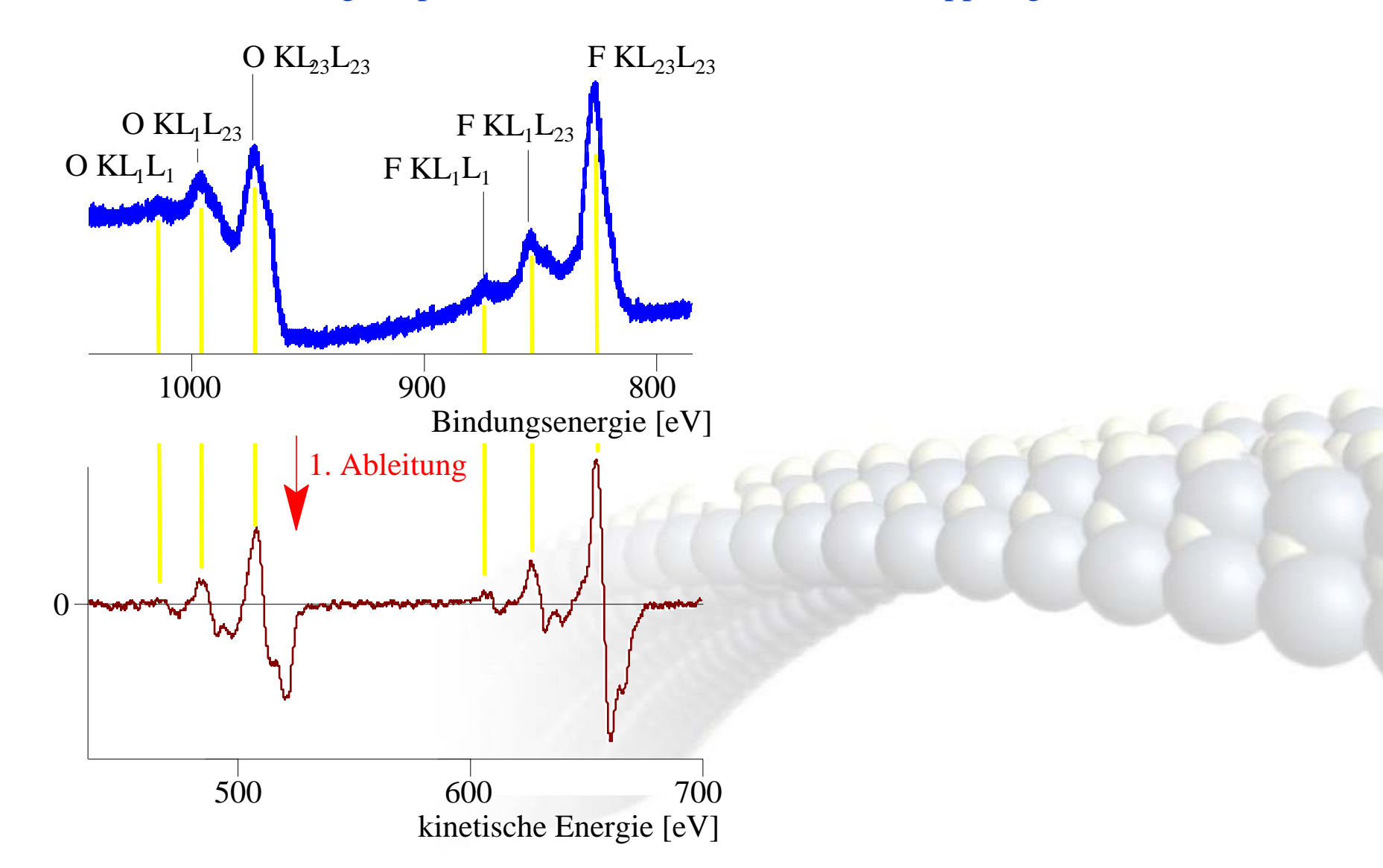






#### Auger-Elektronenspektroskopie (AES)

- Auger-Spektren - Nomenklatur nach L-S-Kopplung -







#### **Zusammenfassung Elektronenspektroskopie**

#### **Elementspezifische Methoden**

- qualitative Oberflächenanalyse (elementspezifisch),
- quantitative Oberflächenanalyse,
- chemische Umgebung eines Elements (Art der funktionellen Gruppen, Oxidationsgrad),
- zerstörende und zerstörungsfreie (auf molekularen Längenskalen) Tiefenprofilanalyse
- abbildende spektroskopische Methoden (*Imaging*).